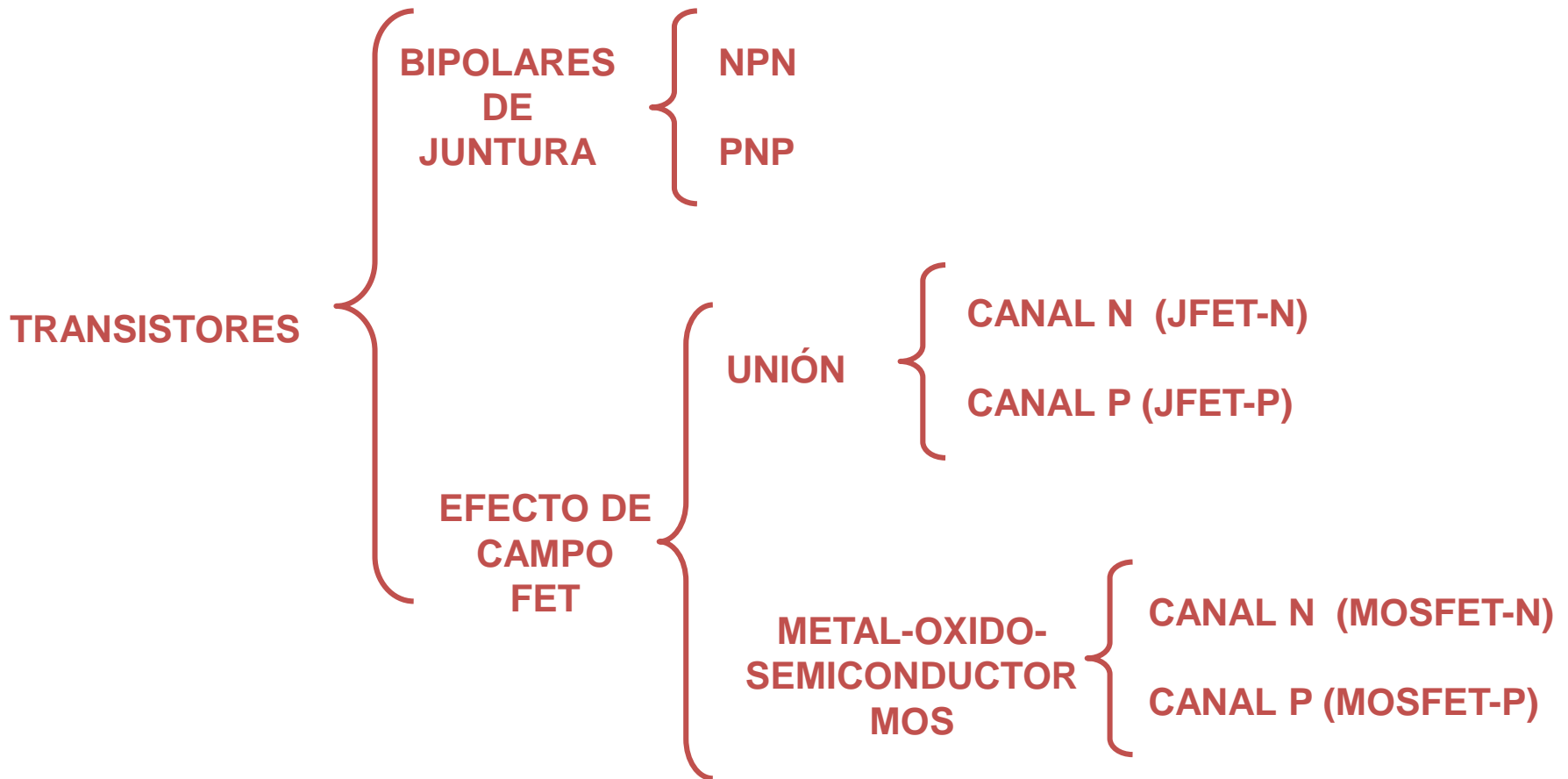


TBJ DISPOSITIVO ELECTRONICOS  
2016

# **Transistor Bipolar**

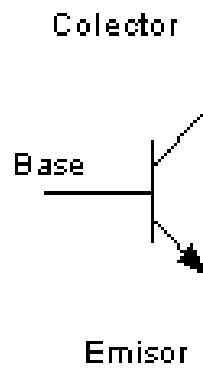
# Tipos de Transistores



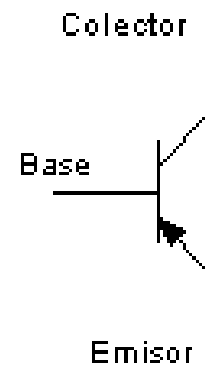
\* FET : Field Effect Transistor

# Definición Cualitativa

- **Dispositivo Semiconductor de 3 terminales**
- **Función en el circuito:**
  - **Amplificar Corriente**
  - **Fuente de Corriente**
  - **Llave Electrónica**
- **Tipos de Transistores:**
  - **NPN**
  - **PNP**



**NPN**



**PNP**

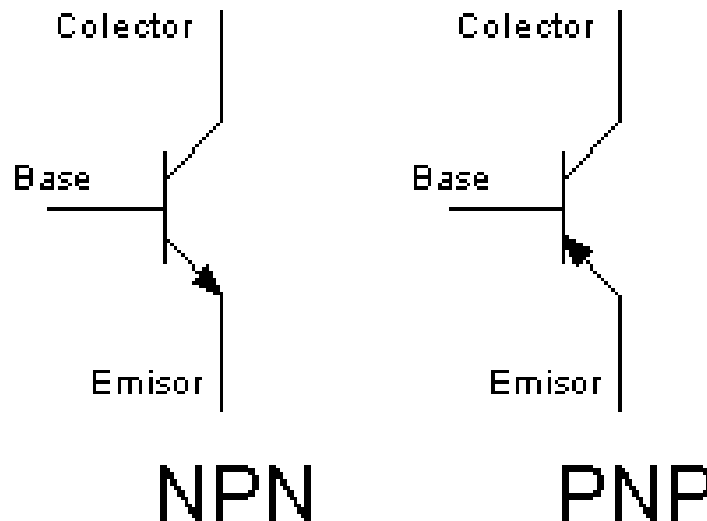
- **Símbolos que lo representan en el Circuito**

# Definición

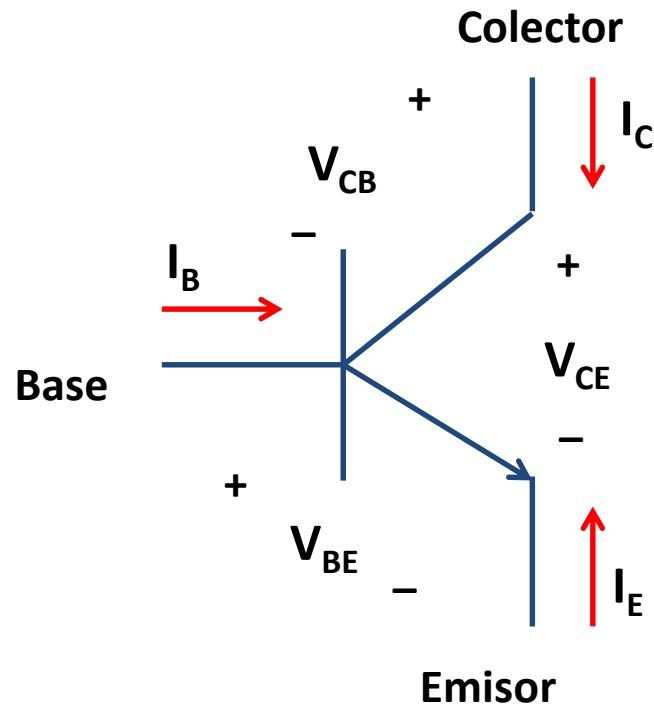
El transistor es un dispositivo de 3 terminales con los siguientes nombres: Base (B), Colector (C) y Emisor (E), coincidiendo siempre, el emisor, con el terminal que tiene la flecha en el gráfico de transistor.

El transistor es un Amplificador de Corriente, esto quiere decir que si le introducimos una corriente por el terminal de Base ( $I_B$ ), entregará por el terminal de Colector ( $I_C$ ), una corriente mayor en un factor que se llama ganancia de corriente en emisor común ( $\beta$ ) -  $I_C = \beta I_B$

El factor  $\beta$  (Beta) es un parámetro del transistor.

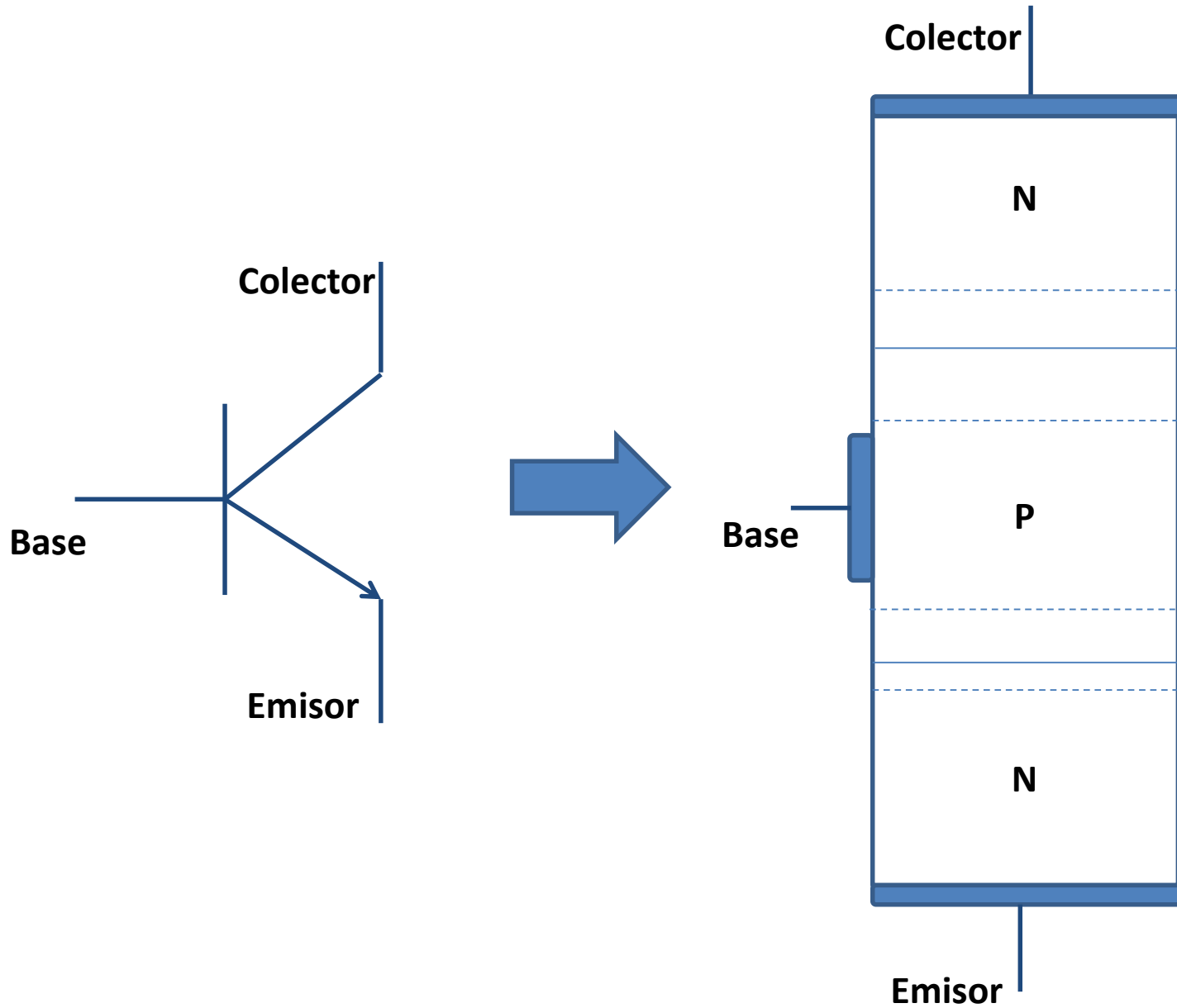


# Convenciones V-I

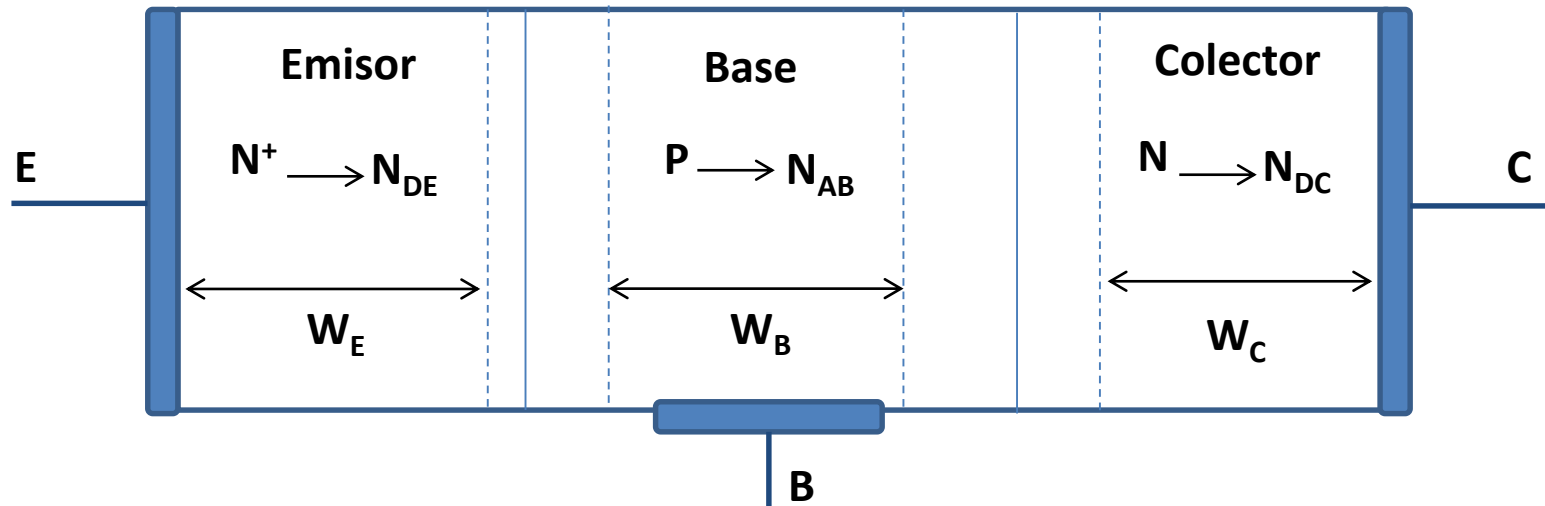


- Corrientes positivas cuando entran al dispositivo
- Tensiones indicadas por subíndices

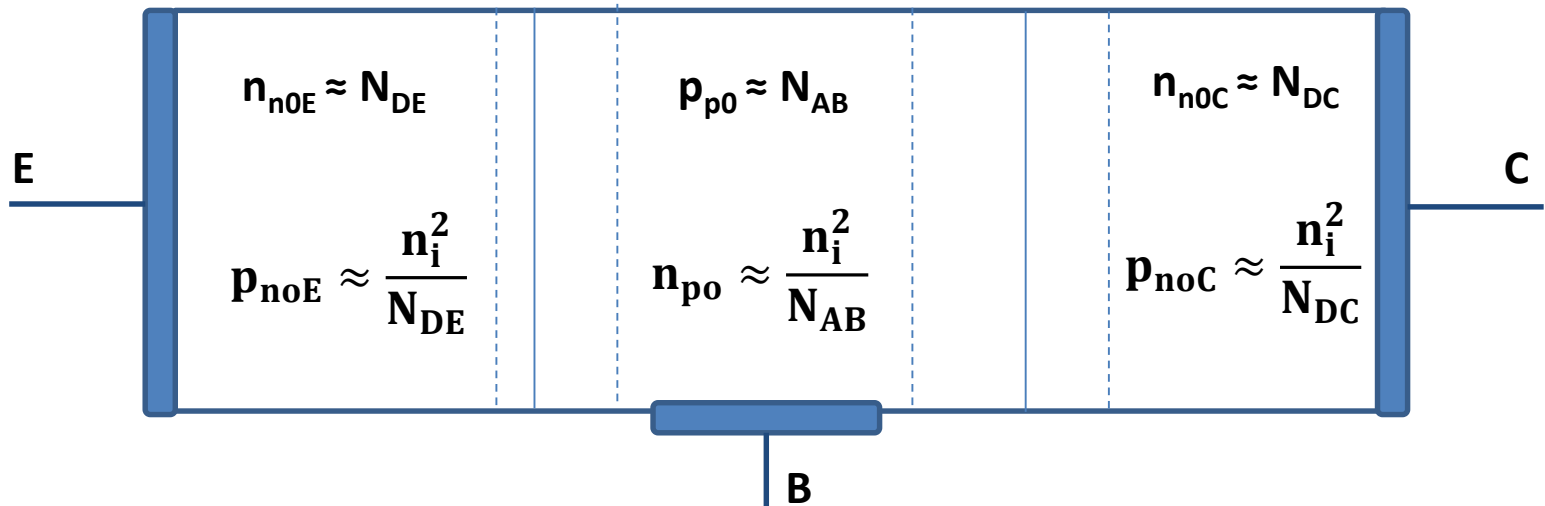
# Estructura Física



# Estructura Física



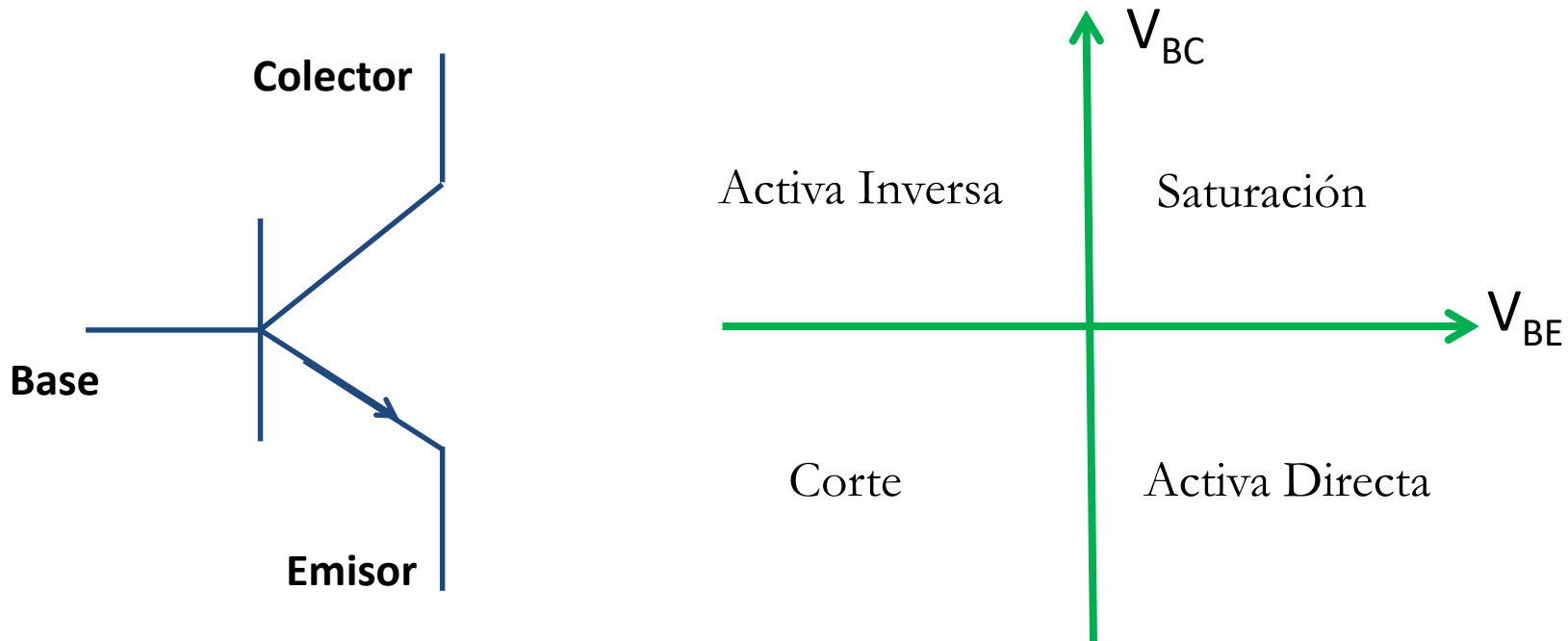
# Concentración de portadores





# Zonas de Operación

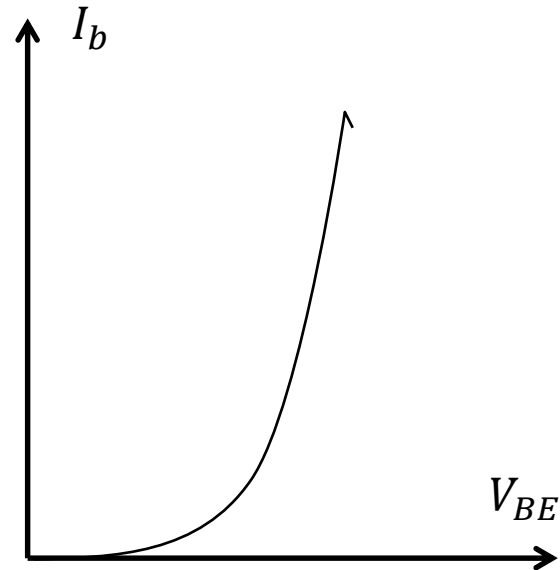
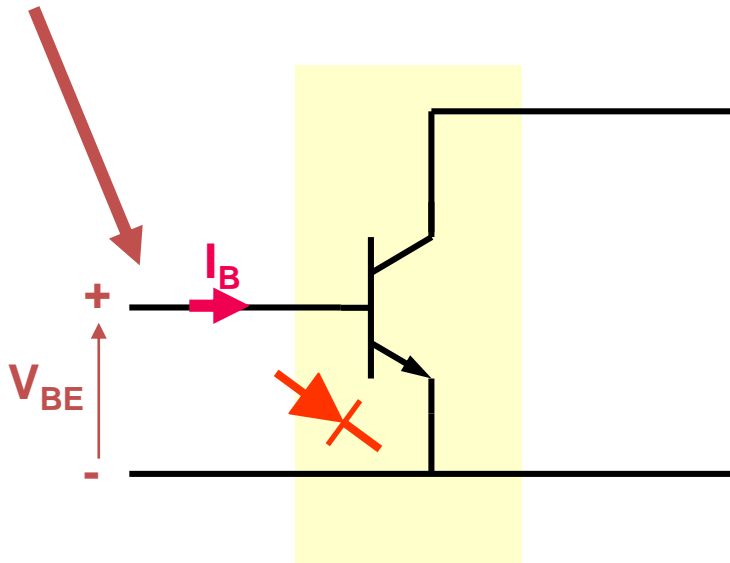
Juntura B-E	Juntura B-C	Zona de Operación
Directa	Inversa	Activa Directa
Directa	Directa	Saturación
Inversa	Inversa	Corte
Inversa	Directa	Activa Inversa



# Características V-I de Base

## Transistor NPN

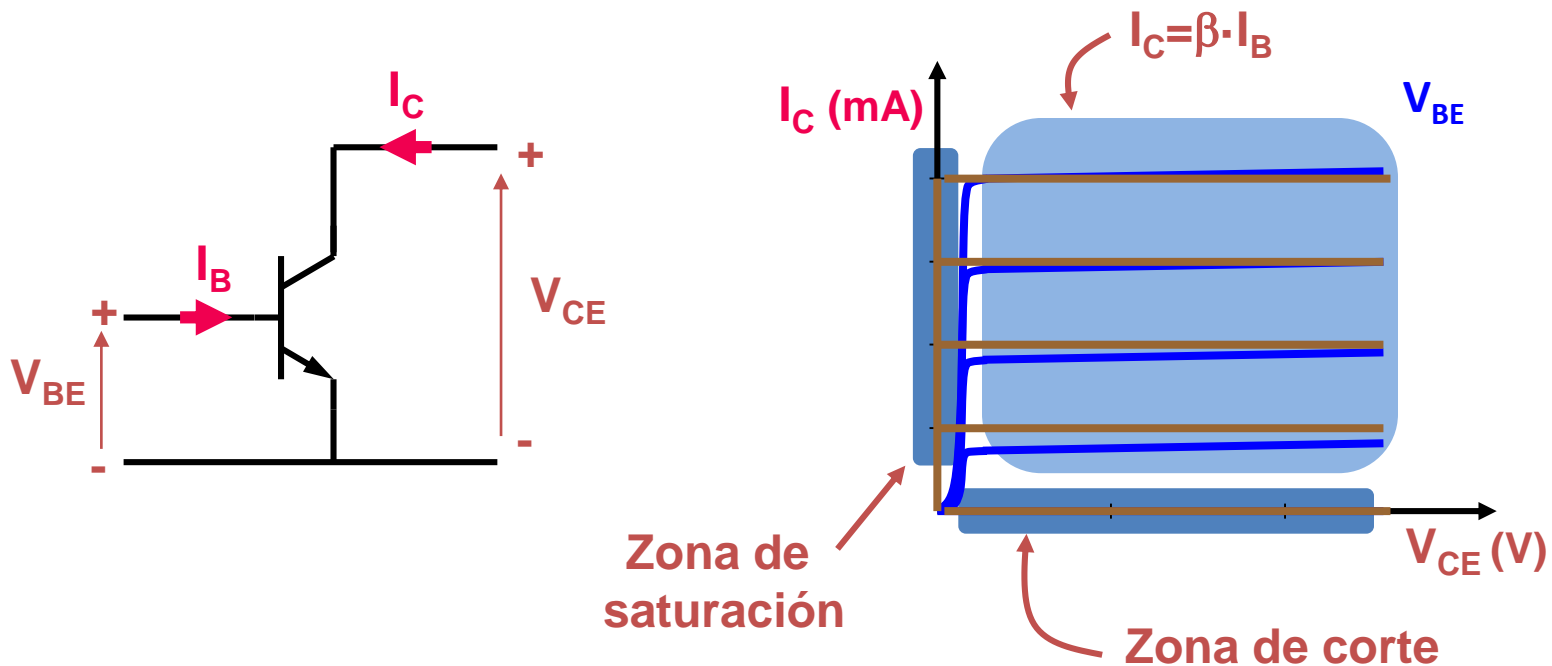
$I_B = f(V_{BE}, V_{CE})$  Característica de entrada



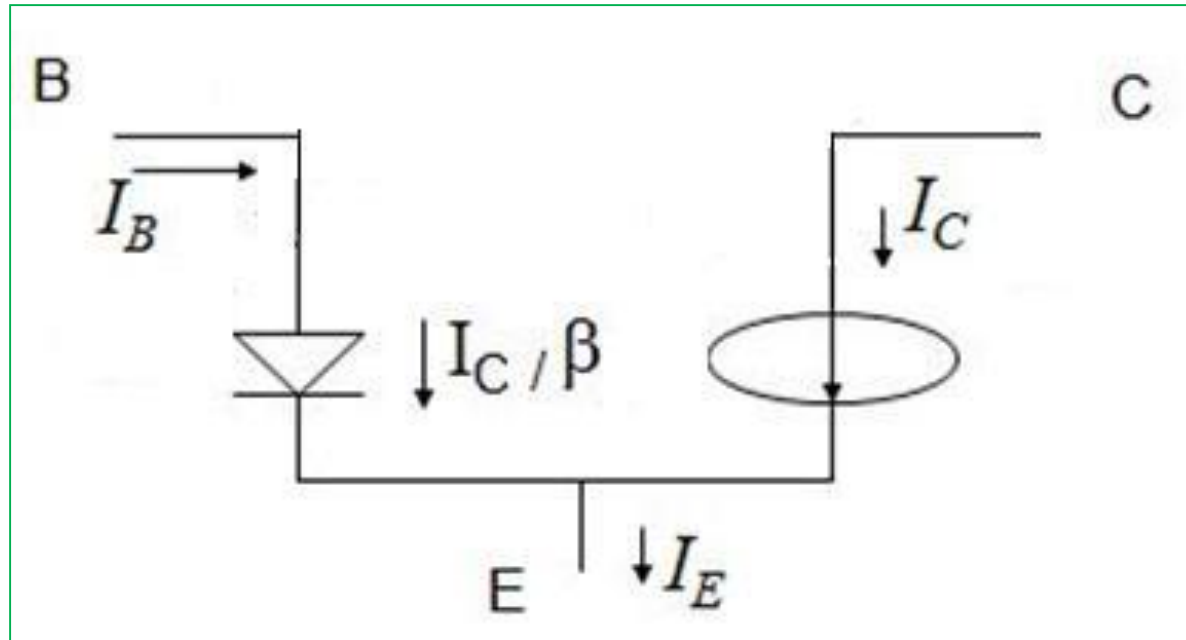
Entre base y emisor el transistor se comporta como un diodo.

# Características V-I de Colector

## Transistor NPN



# Modelo para Zona Activa Directa

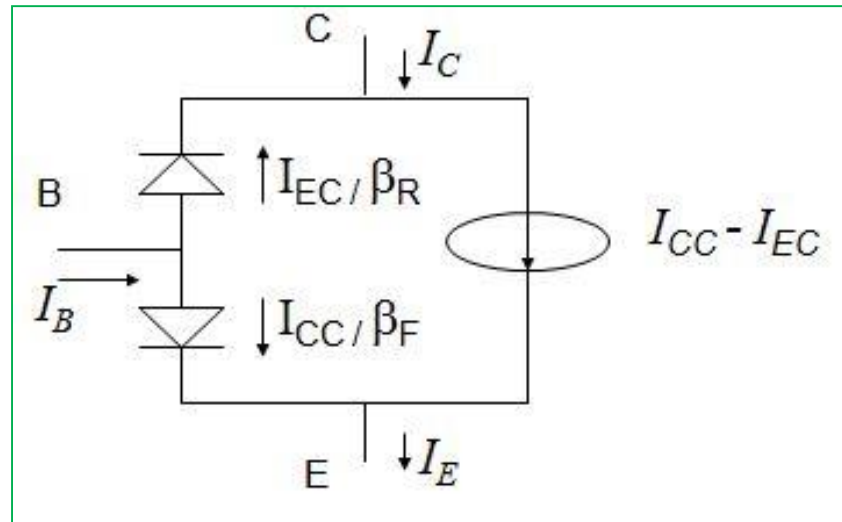
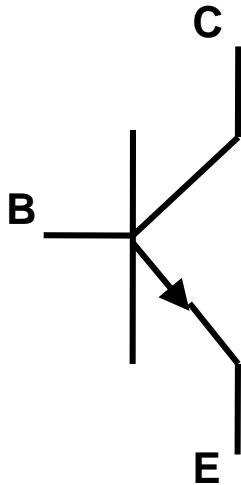


$$I_B = \frac{I_C}{\beta}$$

$$I_C = I_S e^{(V_{BE}/U_T)}$$

Parámetros  $I_S$  y  $\beta$

# Modelo de Eber & Moll



$$I_{CC} = I_S [\exp (V_{BE}/U_T) - 1]$$

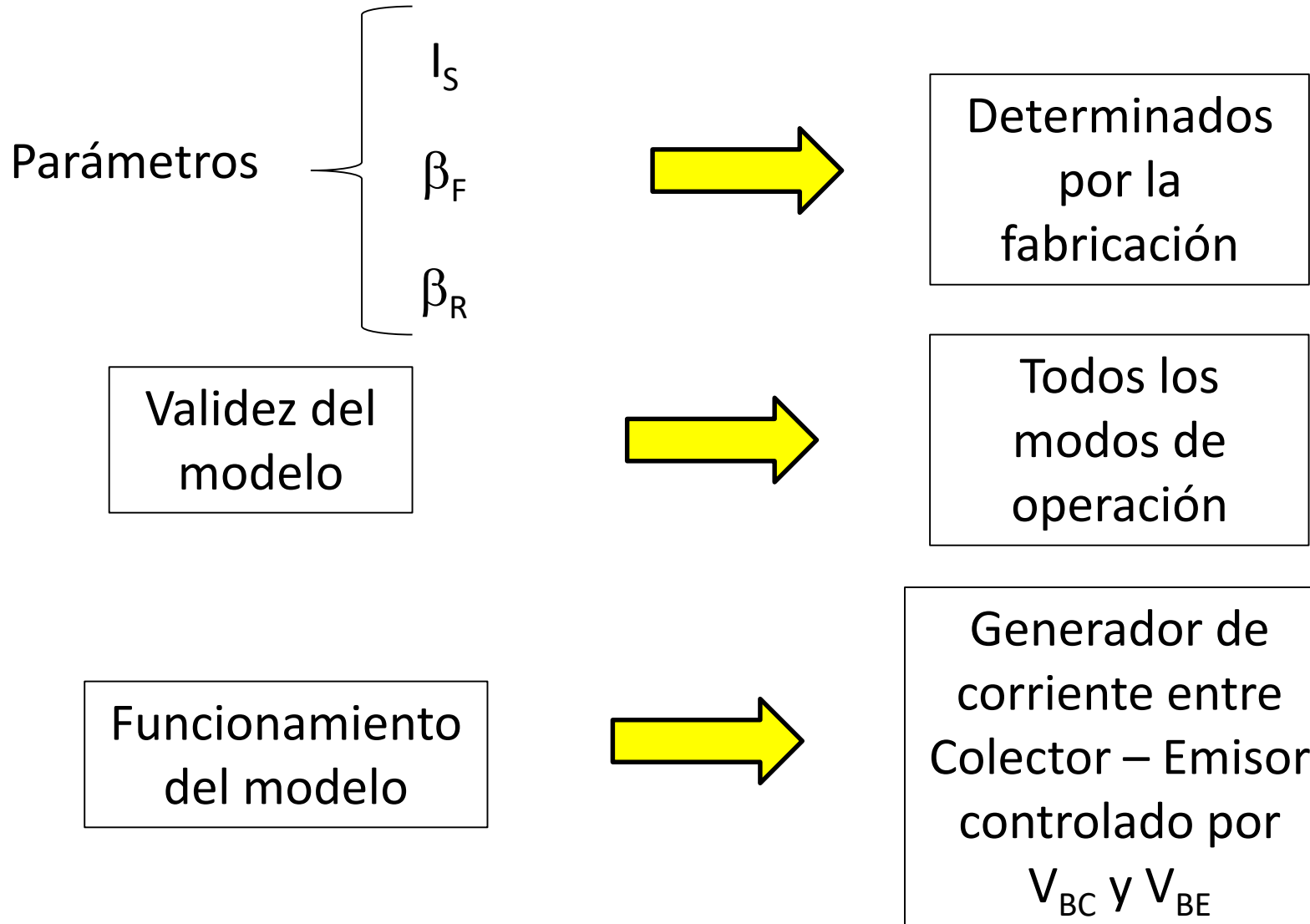
$$I_{EC} = I_S [\exp (V_{BC}/U_T) - 1]$$

$$I_B = I_{EC} / \beta_R + I_{CC} / \beta_F$$

**Parametros**

$$I_S - \beta_F - \beta_R$$

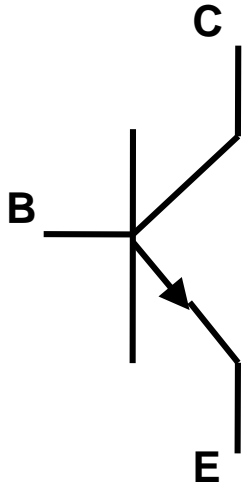
# Características del Modelo de Eber & Moll



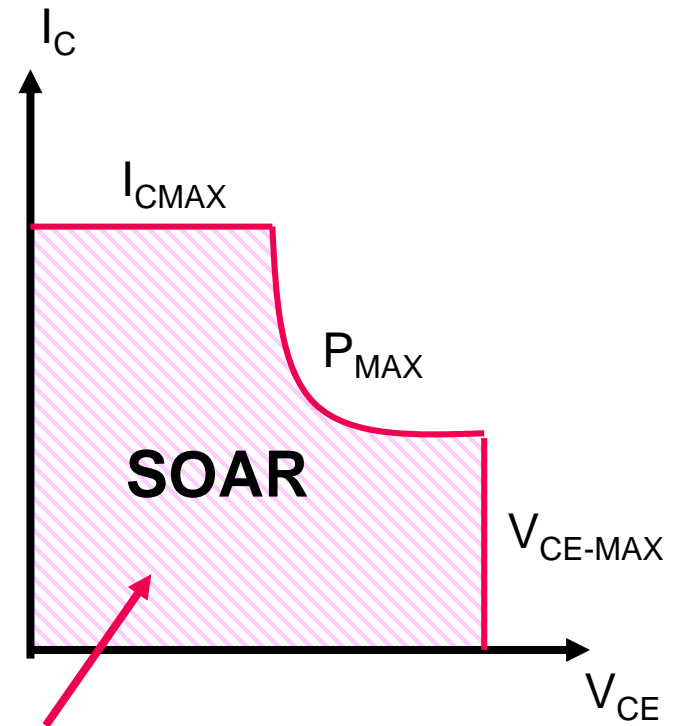
MODELO UTILIZADO POR LOS SIMULADORES

# Limitaciones del Modelo

- **No contempla Máximas Tensiones, Corrientes y Potencia**  
(Zona de Operación Segura SOAR)



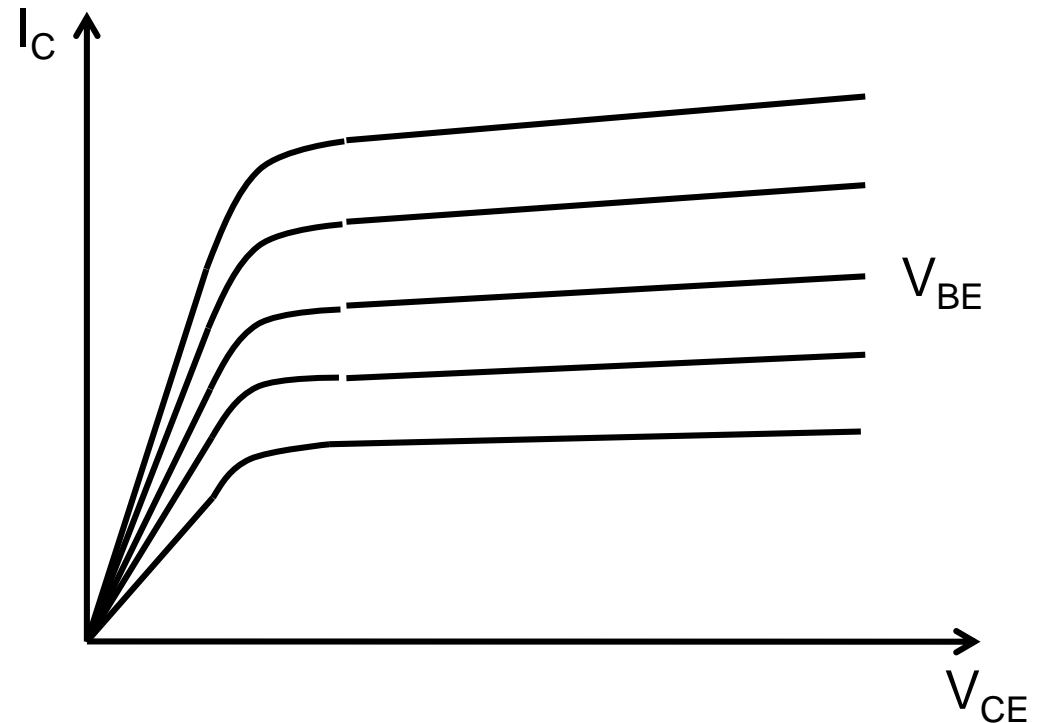
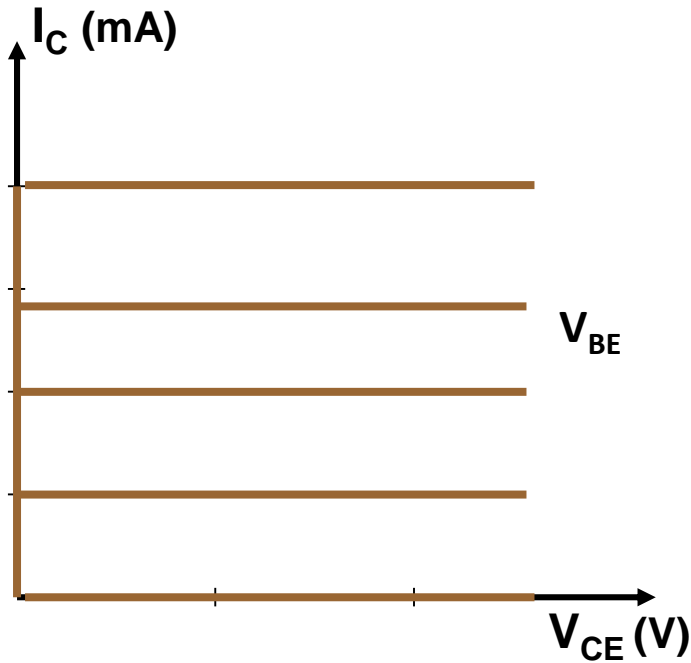
$I_{C-MAX}$	Corriente máxima de colector
$V_{CE-MAX}$	Tensión máxima CE
$P_{MAX}$	Potencia máxima



Área de operación segura  
(Safety Operation Area)

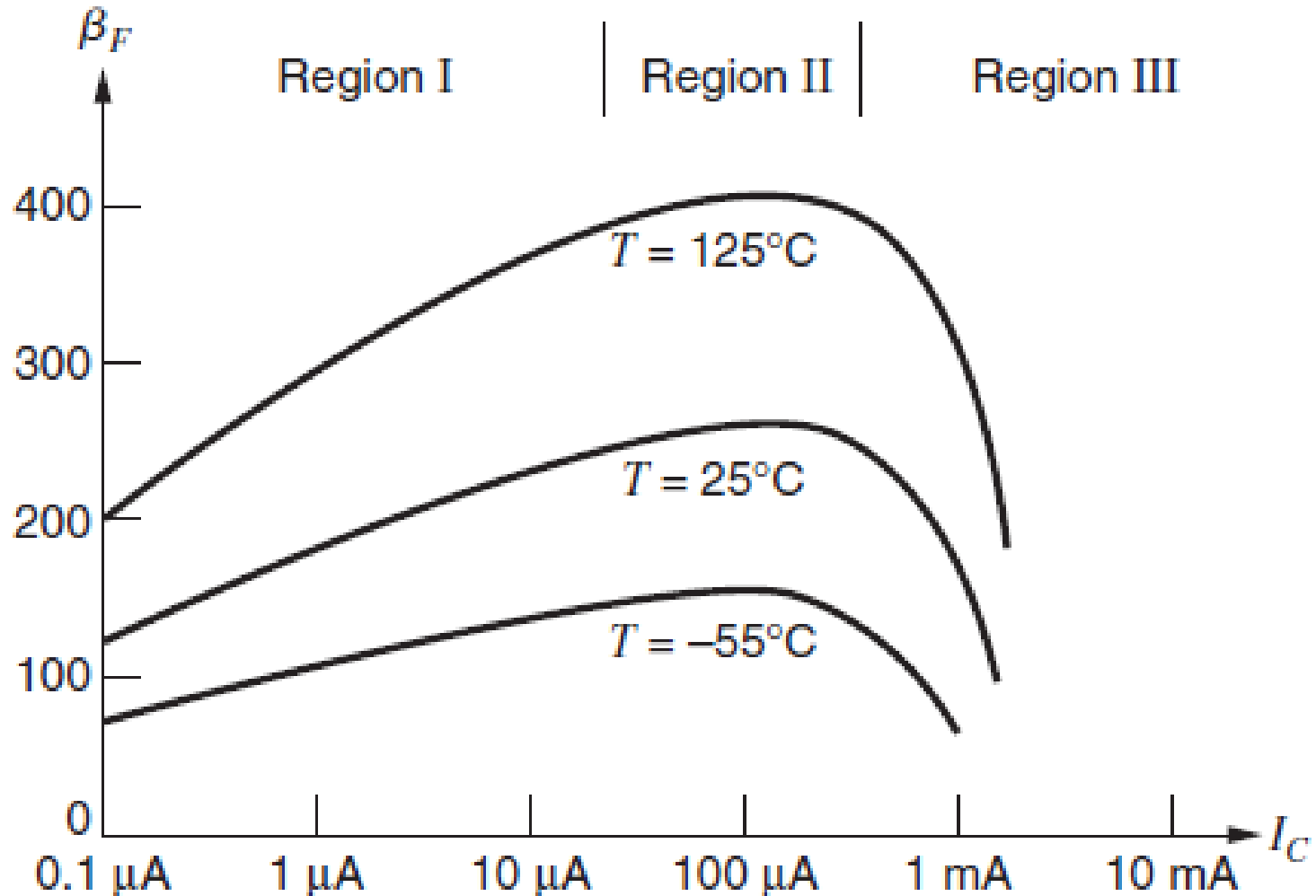
- No representa la variación de la corriente  $I_C$  con la tensión  $V_{CE}$

(Modulación del ancho de la base)

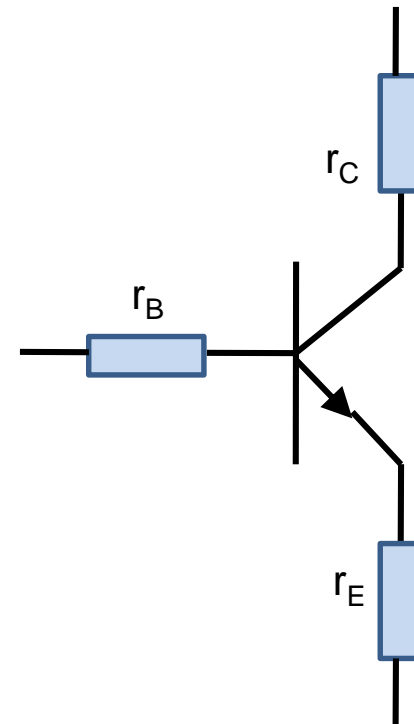




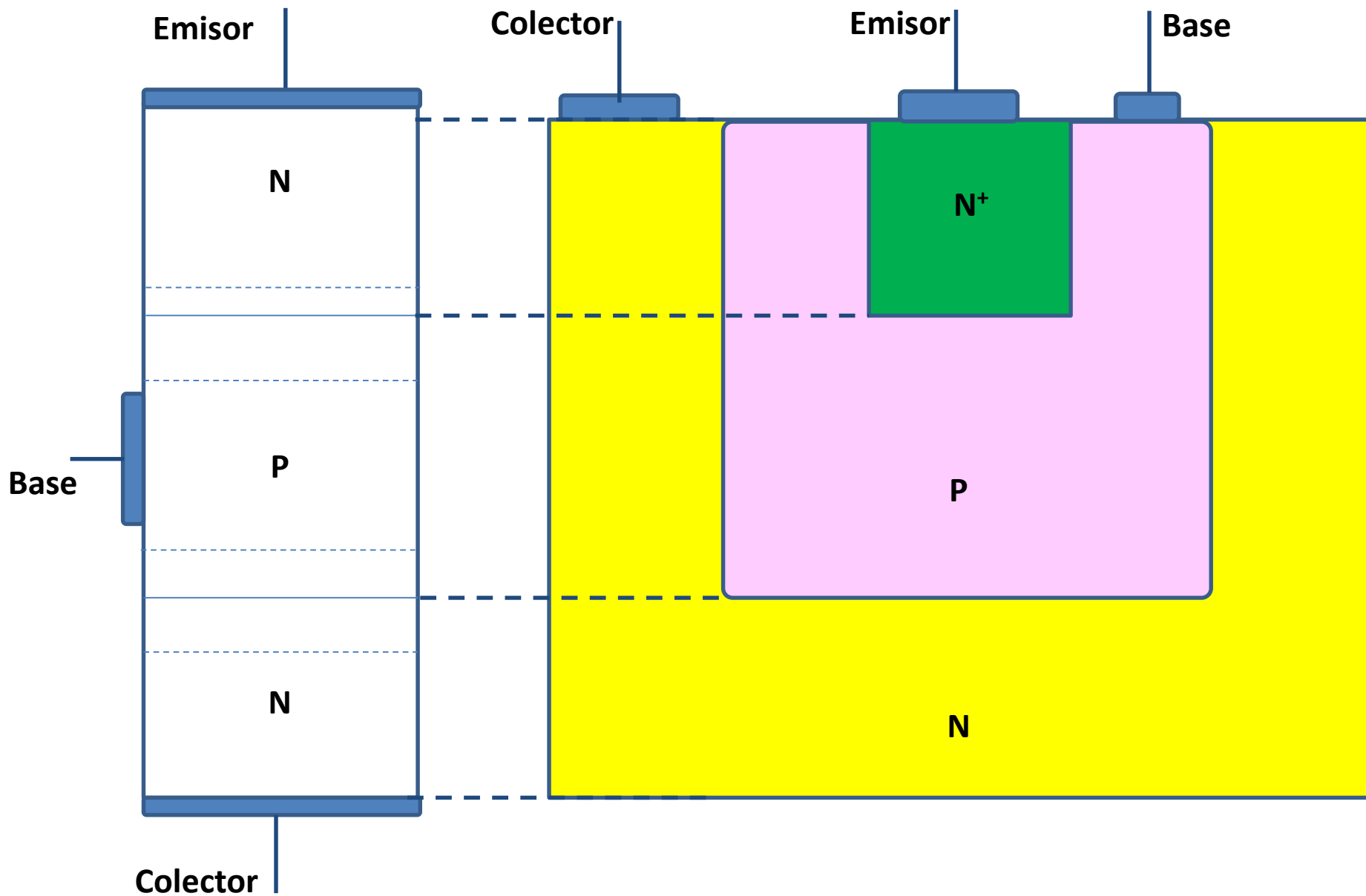
- No representa la dependencia del valor de  $\beta$  con la corriente  $I_C$ .
- No contempla la dependencia de  $\beta$  con la temperatura



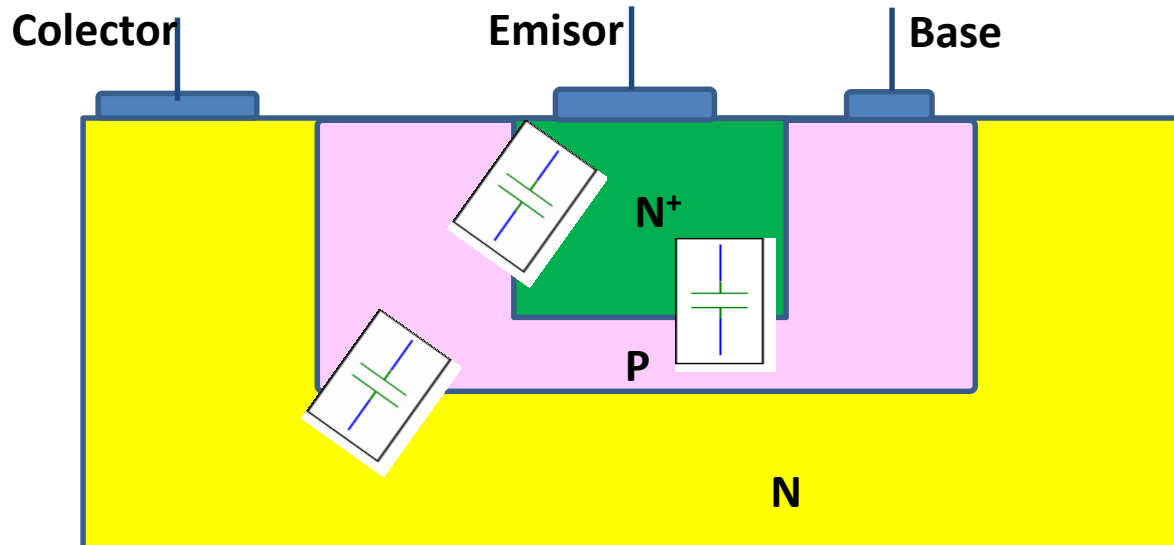
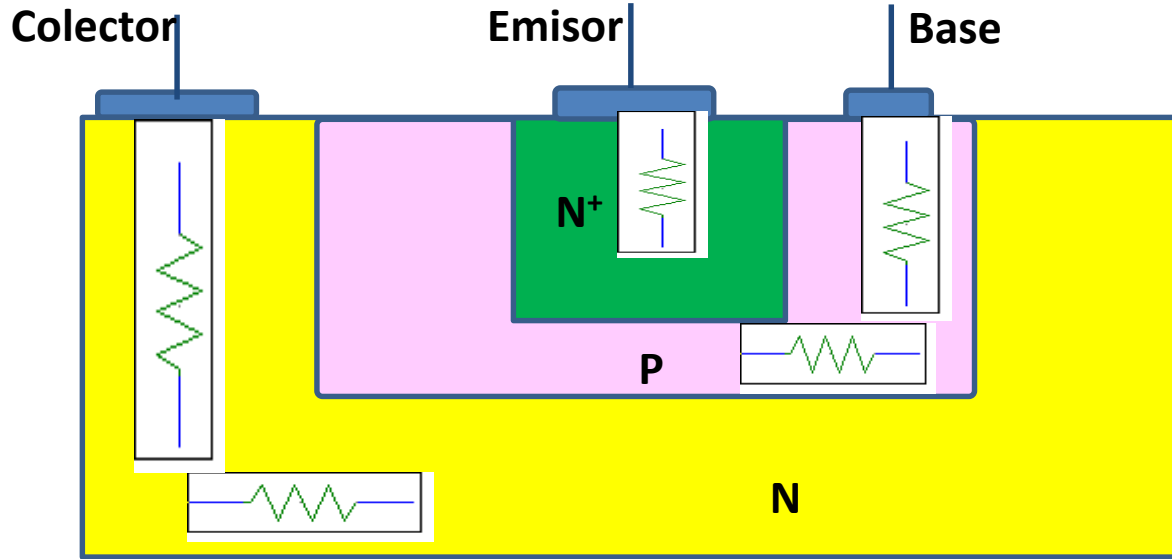
- No contempla los **Efectos Capacitivos** de las junturas que afecta al funcionamiento en altas frecuencias
  - Capacidades de juntura  $C_{JC}$  (Colector – Base)  $C_{jE}$  (Emisor – Base)
  - Capacidades de difusión  $C_{DC}$  (Colector – Base)  $C_{DE}$  (Emisor – Base)
  
- La tecnología de fabricación de los TBJ introduce **Resistencias Parásitas** en serie con los terminales
  - Base ( $r_B$ ),
  - Colector ( $r_C$ )
  - Emisor ( $r_E$ ).



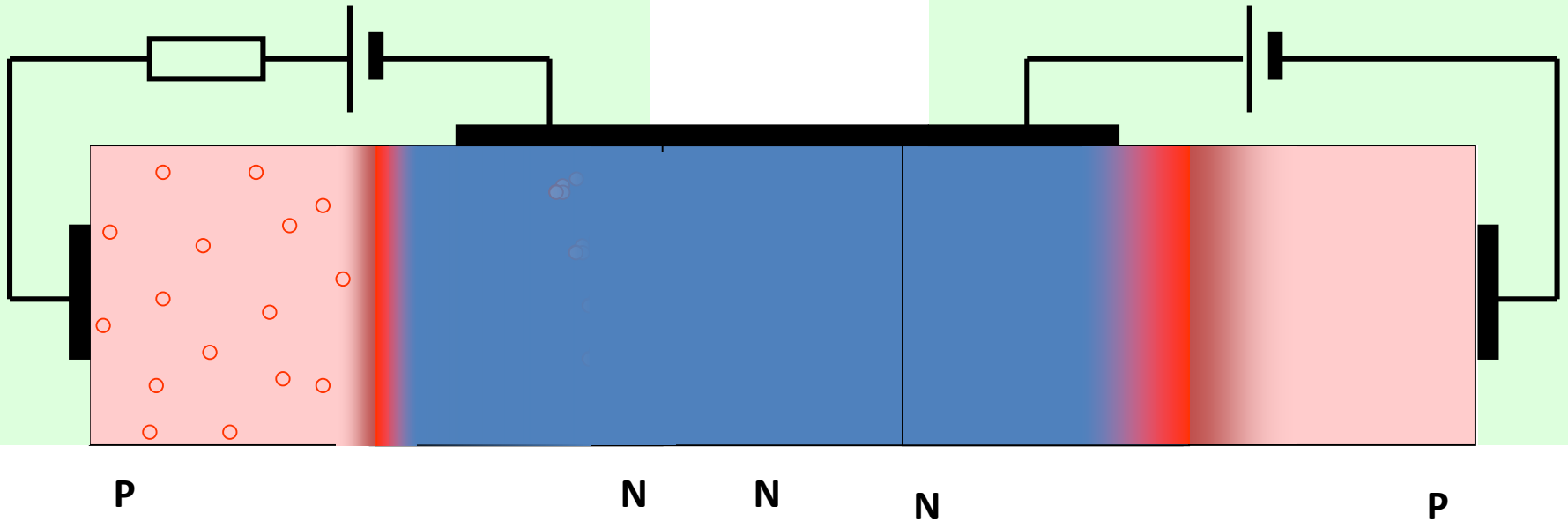
# Corte Transversal de un TBJ NPN



# Elementos parásitos

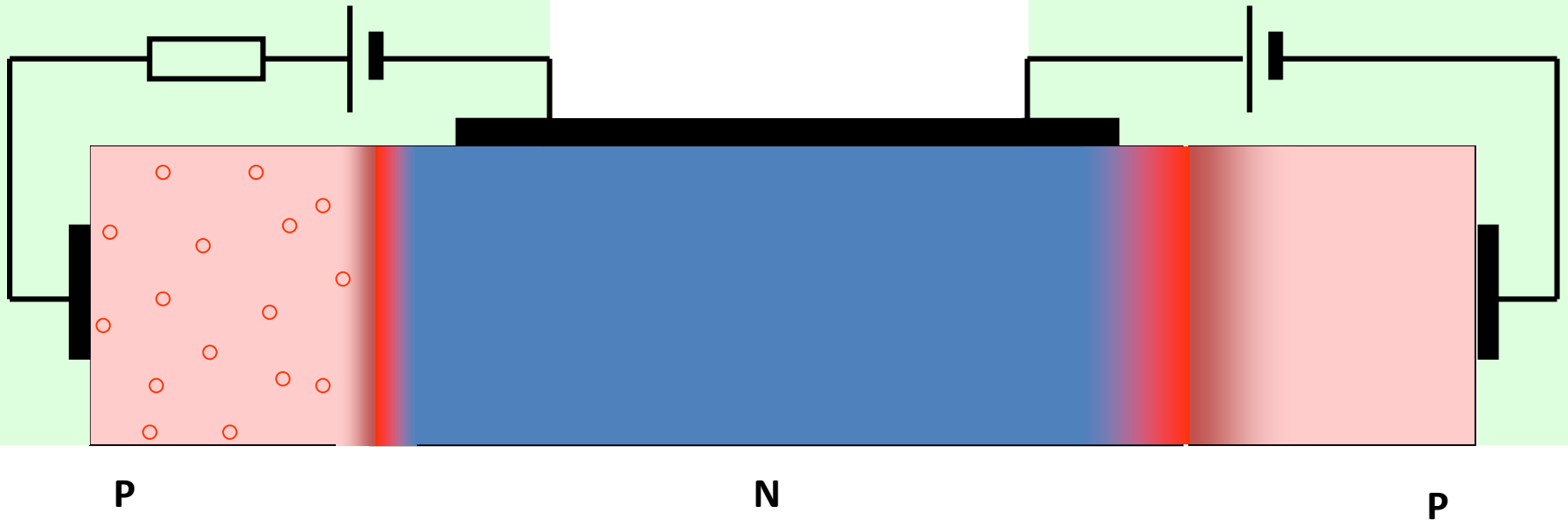


# Principio de Funcionamiento del Transistor Bipolar

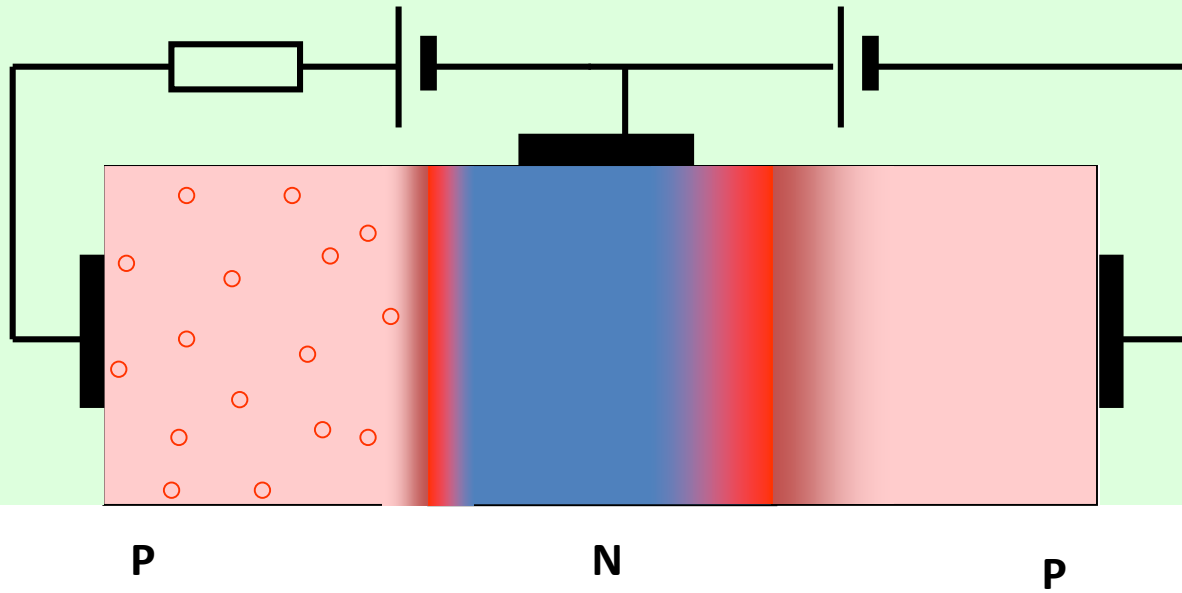


Si la zona central es muy ancha el comportamiento es el de dos diodos en serie: el funcionamiento de la primera unión no afecta al de la segunda

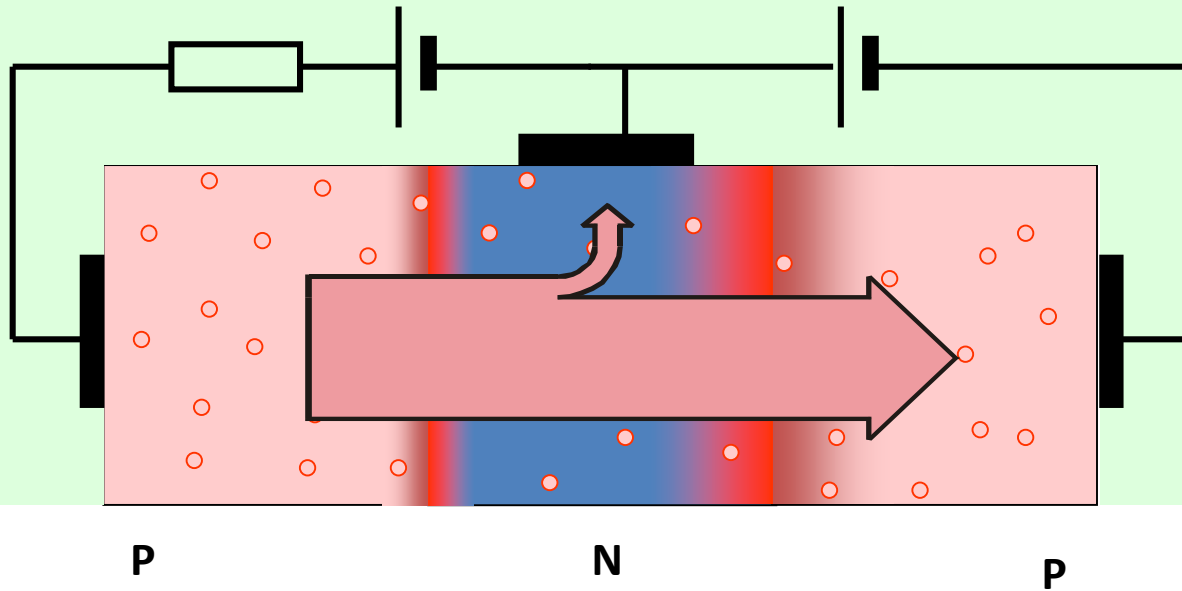
# Principio de Funcionamiento del Transistor Bipolar



# Principio de Funcionamiento del Transistor Bipolar

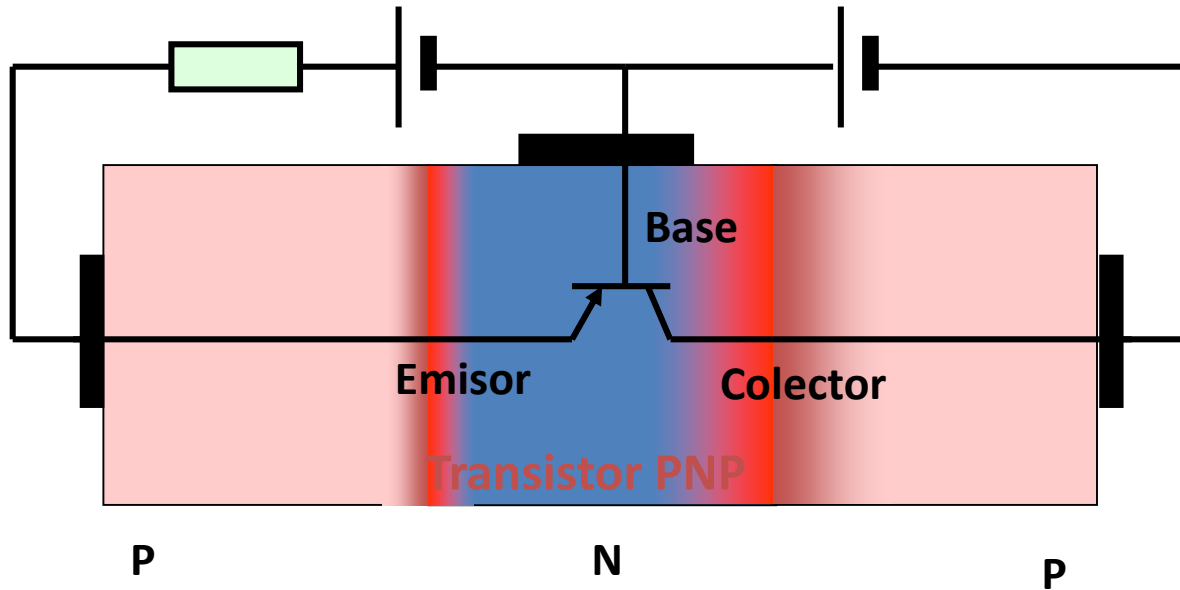


# Principio de Funcionamiento del Transistor Bipolar





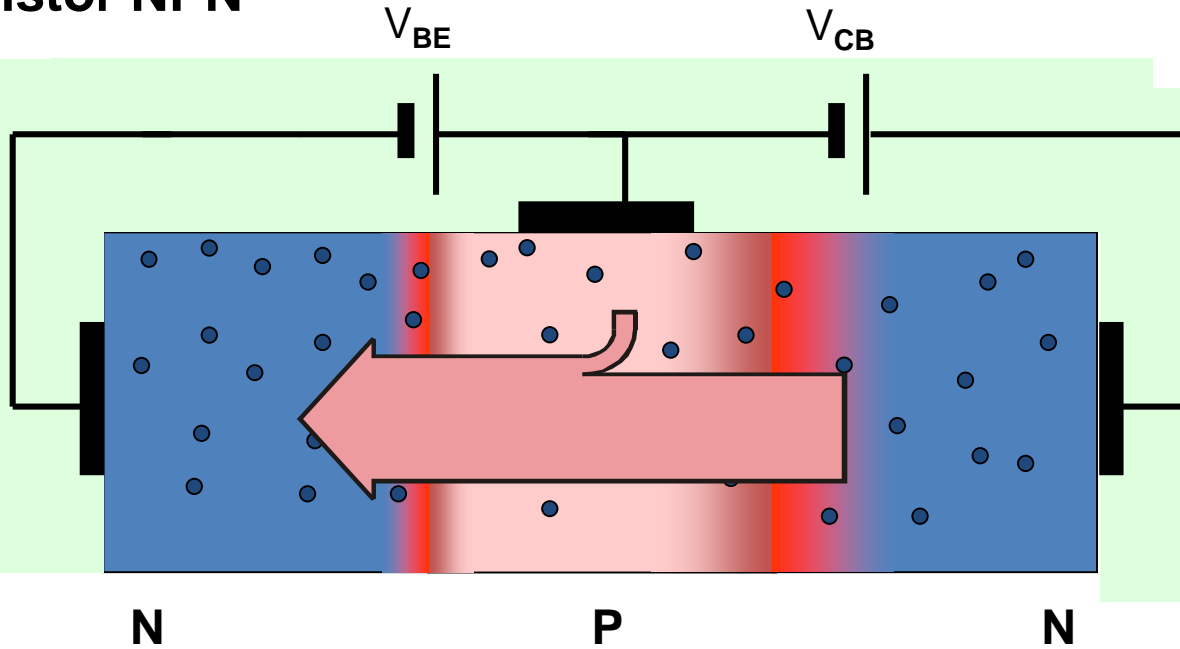
# Principio de Funcionamiento del Transistor Bipolar



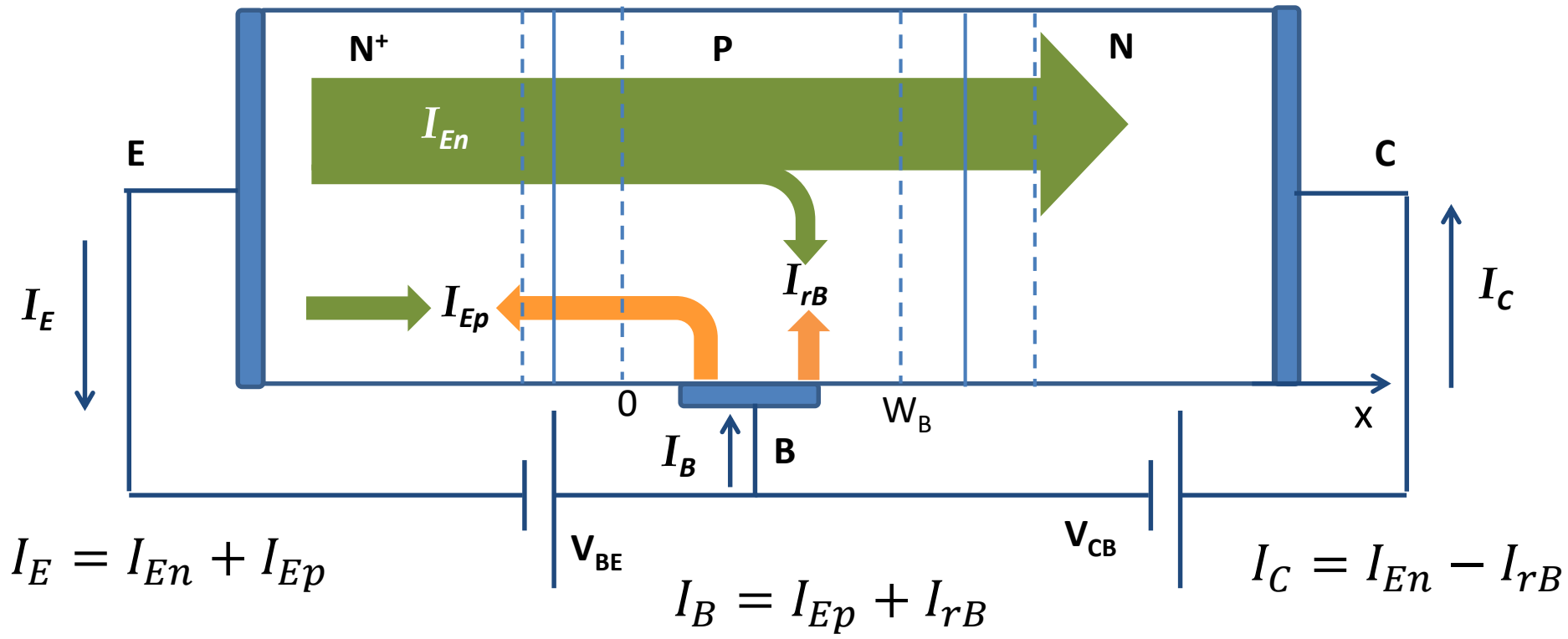
El terminal de base actúa como terminal de control manejando una fracción de la corriente mucho menor a la de emisor y el colector.

# Principio de Funcionamiento del Transistor Bipolar

## Transistor NPN



# Desplazamiento de portadores en Zona Activa Directa



$$\beta = \frac{I_C}{I_B}$$

$$\beta = \frac{I_{En} - I_{rB}}{I_{Ep} + I_{rB}}$$

$$\alpha = \frac{I_C}{I_E}$$

$$\alpha = \frac{I_{En} - I_{rB}}{I_{Ep} + I_{En}}$$

$$\alpha = \left( \frac{I_{En}}{I_{Ep} + I_{En}} \right) \left( \frac{I_{En} - I_{rB}}{I_{En}} \right)$$

$\frac{\text{Corriente de electrones en la juntura } B - E}{\text{Corriente total en la juntura } B - E}$



$\gamma_E \rightarrow$  Eficiencia de inyección

$$\alpha = \left( \frac{I_{En}}{I_{Ep} + I_{En}} \right) \left( \frac{I_{En} - I_{rB}}{I_{En}} \right)$$

$\frac{\text{Corriente de electrones que llega a la juntura } B - C}{\text{Corriente de electrones que pasa por la juntura } B - E}$



$\alpha_T \rightarrow$  Factor de transporte de base

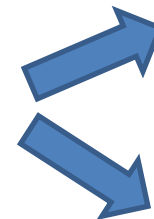
$$\alpha = \gamma_E \alpha_T$$

$$\beta = \frac{\alpha}{1 - \alpha}$$

$\beta$  alto  $\Rightarrow \alpha \approx 1$

$$\alpha = \frac{\beta}{1 + \beta}$$

$\alpha \approx 1$



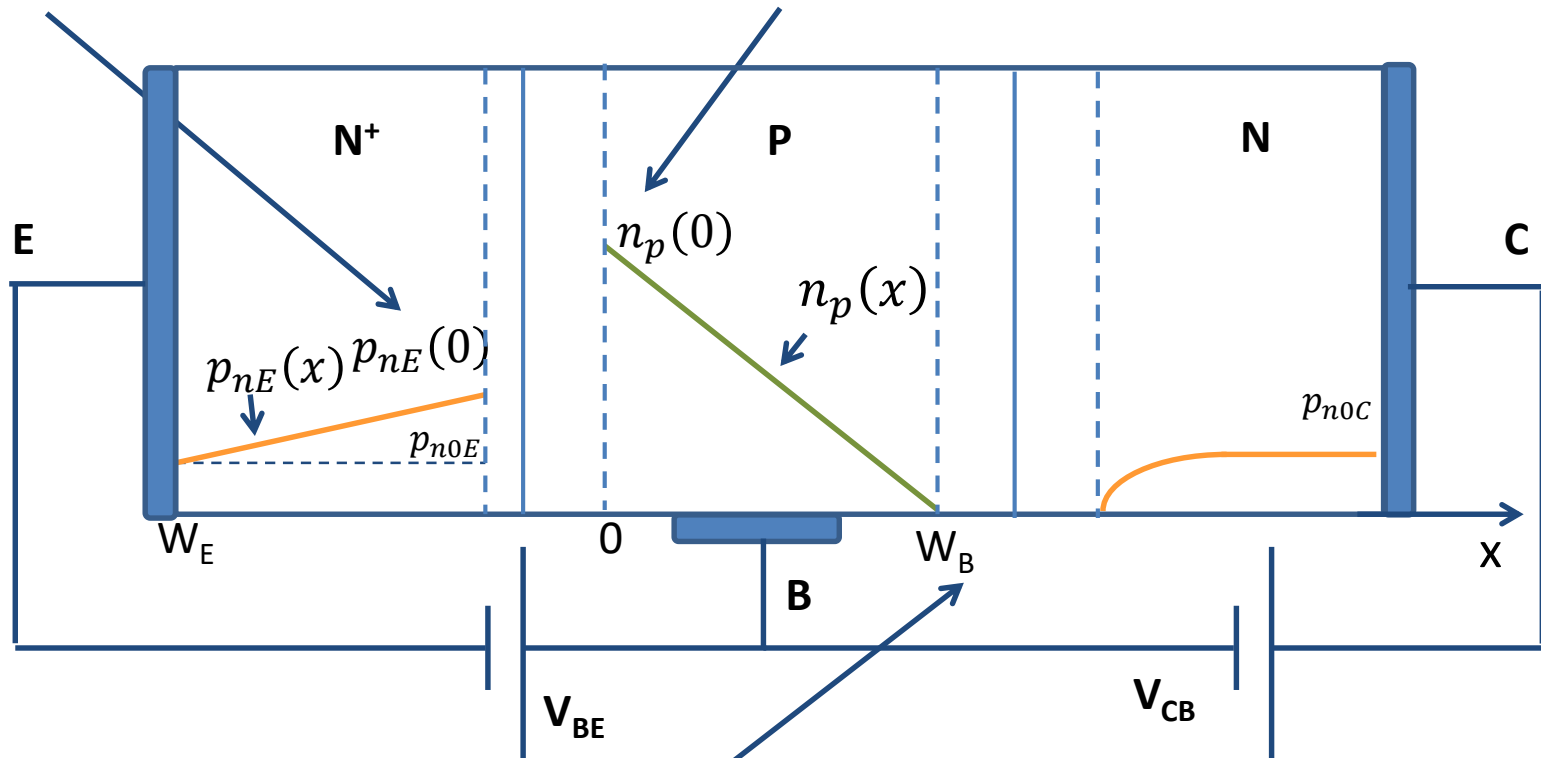
$\gamma_E \approx 1$

$\alpha_T \approx 1$

# Concentraciones de portadores en Zona Activa Directa

$$p_{nE}(0) = p_{n0E} e^{\frac{V_{BE}}{U_T}}$$

$$n_p(0) = n_{p0} e^{\frac{V_{BE}}{U_T}}$$



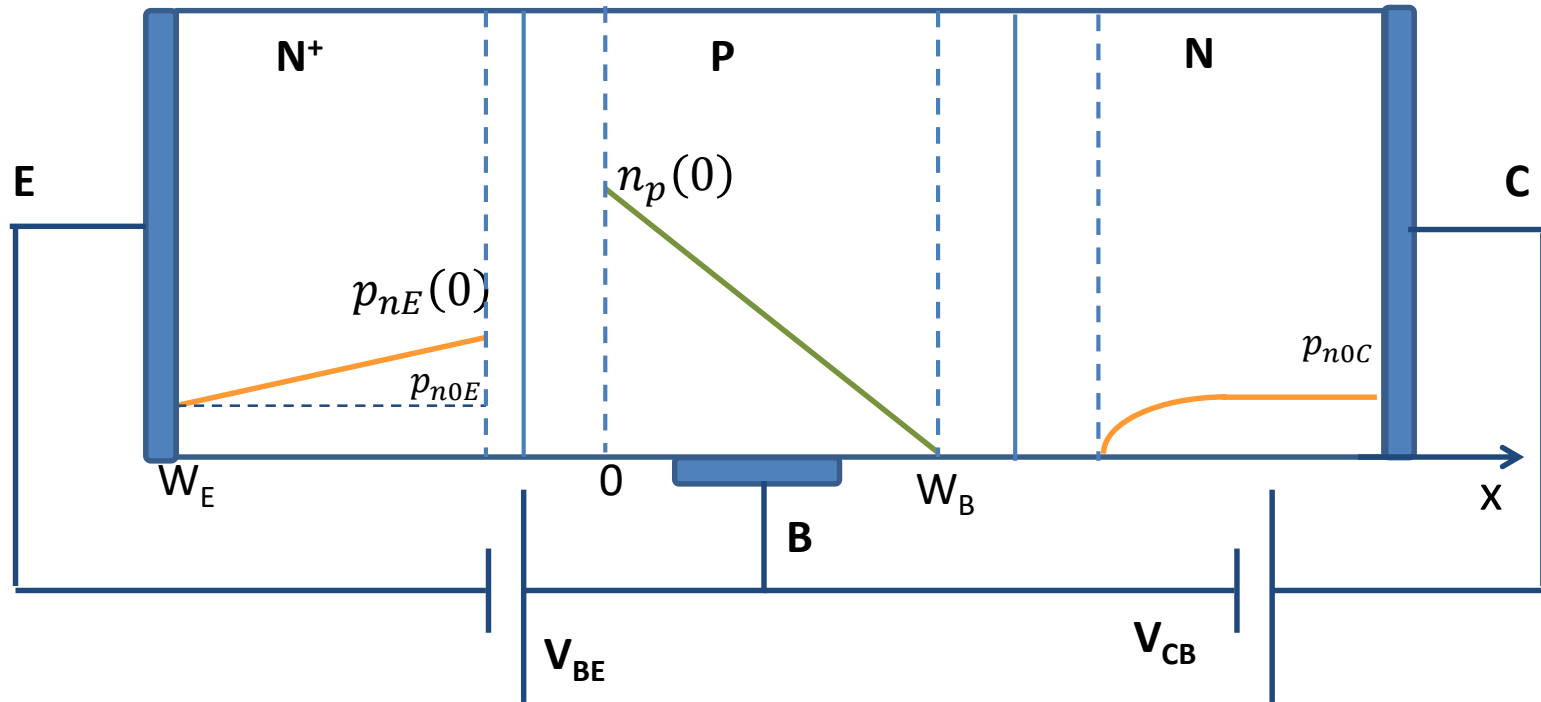
$$V_{BC} < 0$$

$$n_p(W_B) = n_{p0} e^{\frac{V_{BC}}{U_T}}$$



$$n_p(W_B) \approx 0$$

# Corrientes en Zona Activa Directa



$$I_{En} = qA_E D_n \left. \frac{dn_p(x)}{dx} \right|_{x=0}$$

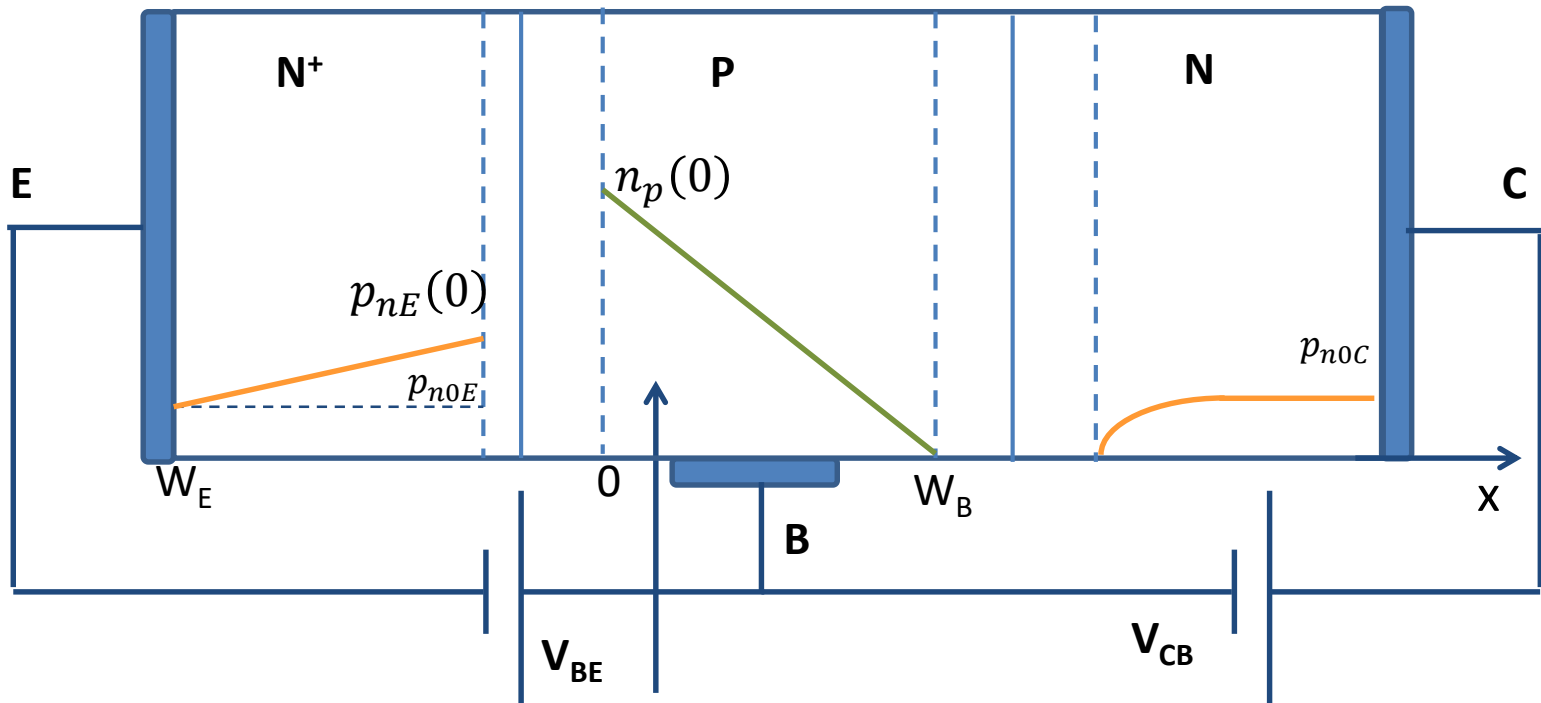
$$\left. \frac{dn_p(x)}{dx} \right|_{x=0} = -\frac{n_p(0)}{W_B}$$

$$I_{En} = -qA_E D_n \frac{n_p(0)}{W_B}$$

$$I_{Ep} = -qA_E D_p \left. \frac{dp_{nE}(x)}{dx} \right|_{x=0}$$

$$\left. \frac{dp_{nE}(x)}{dx} \right|_{x=0} = \frac{p_{nE}(0)}{W_E}$$

$$I_{Ep} = -qA_E D_p \frac{p_{nE}(0)}{W_E}$$



$Q_B \rightarrow$  Carga almacenada en base

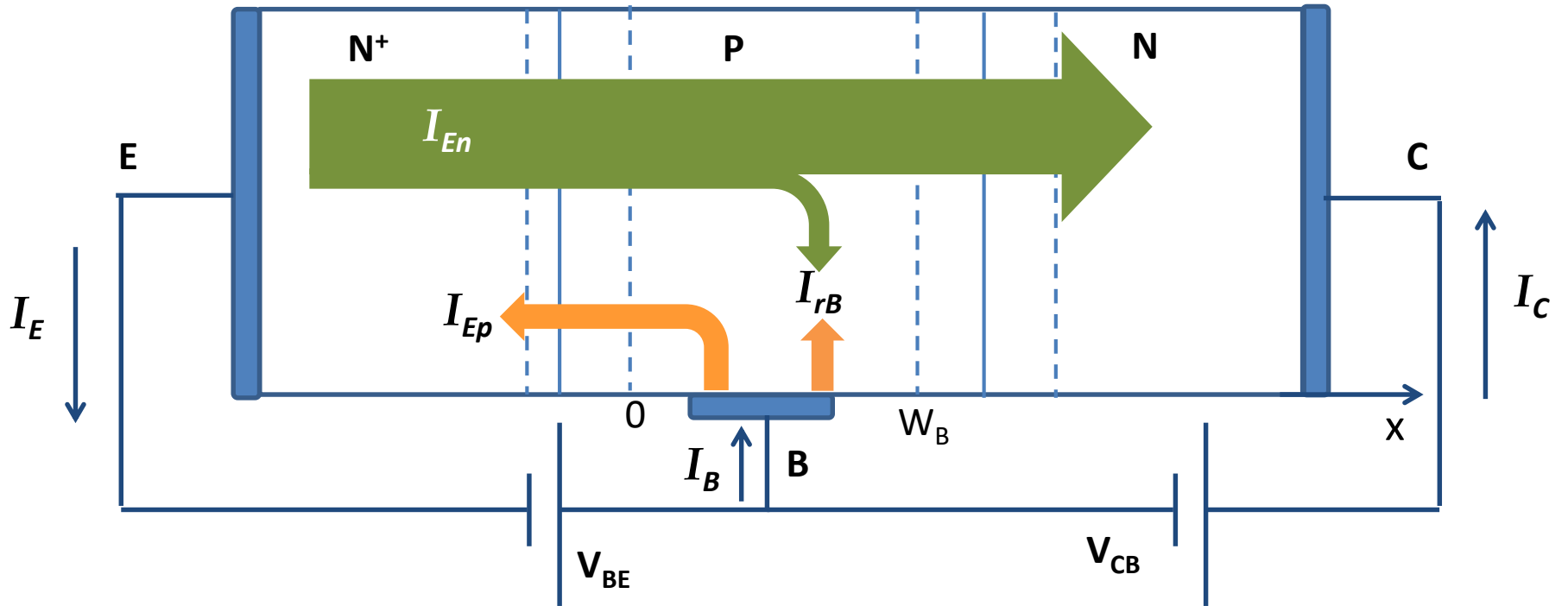
$$I_{rB} = \frac{Q_B}{\tau_n}$$

$\tau_n \rightarrow$  Tiempo de vida medio de electrones en base

$$Q_B = \frac{1}{2} q A_E W_B n_p(0)$$

$$I_{rB} = -\frac{1}{2} \frac{q A_E W_B}{\tau_n} n_p(0)$$

# RELACION $I_C$ vs $V_{BE}$



$$I_C = I_{En} - I_{rB}$$

$$\text{si } I_{rB} \ll I_{En}$$

$$I_C \approx -I_{En}$$

$$I_{En} = -qA_E D_n \frac{n_p(0)}{W_B}$$

$$n_p(0) = n_{p0} e^{\frac{V_{BE}}{U_T}}$$

$$I_C = \frac{qA_E D_n n_{p0}}{W_B} e^{\frac{V_{BE}}{U_T}}$$

$$I_C = I_S e^{\frac{V_{BE}}{U_T}}$$

$$I_S = \frac{qA_E D_n n_{p0}}{W_B}$$



# Ganancia de Corriente $\beta$

$$\beta = \frac{\alpha}{1 - \alpha} \quad \beta = \frac{1}{\frac{1}{\alpha} - 1} \quad \alpha = \gamma_E \alpha_T$$

$$\alpha = \left( \frac{I_{En}}{I_{Ep} + I_{En}} \right) \left( \frac{I_{En} - I_{rB}}{I_{En}} \right) \quad \alpha = \left( \frac{1}{\frac{I_{Ep}}{I_{En}} + 1} \right) \left( 1 - \frac{I_{rB}}{I_{En}} \right)$$

$$\gamma_E = \left( \frac{1}{\frac{I_{Ep}}{I_{En}} + 1} \right) \quad \frac{I_{Ep}}{I_{En}} = \frac{D_p p_{n0E} W_B}{D_n n_{p0} W_E}$$

$$I_{Ep} = -q A_E D_p \frac{p_{nE}(0)}{W_E}$$

$$I_{En} = -q A_E D_n \frac{n_p(0)}{W_B}$$

$$\alpha_T = \left( 1 - \frac{I_{rB}}{I_{En}} \right) \quad \frac{I_{rB}}{I_{En}} = \frac{W_B^2}{2 D_n \tau_n}$$

$$I_{rB} = \frac{1}{2} \frac{q A_E W_B}{\tau_n} n_p(0)$$

$$\alpha = \gamma_E \alpha_T$$

↓

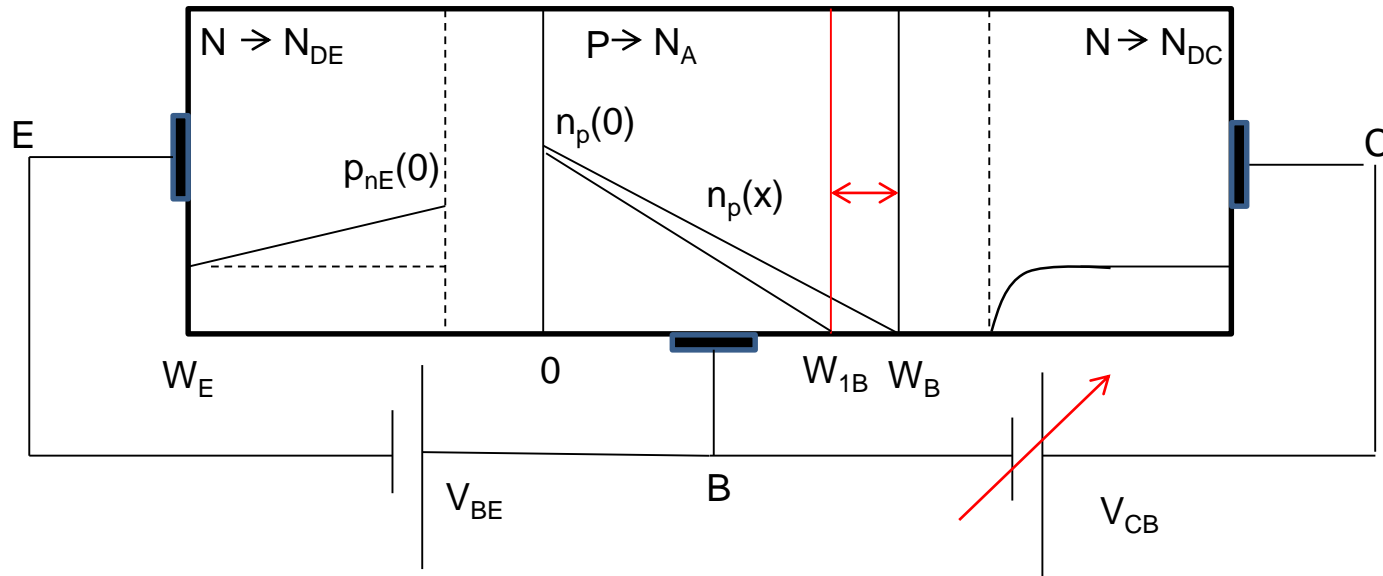
$$\text{Si } \alpha_T \approx 1 \quad \alpha \approx \gamma_E \quad \longrightarrow \quad \beta \approx \frac{1}{\frac{1}{\gamma_E} - 1} \quad \gamma_E = \left( \frac{1}{\frac{I_{Ep}}{I_{En}} + 1} \right)$$

$$\frac{1}{\gamma_E} = 1 + \frac{I_{Ep}}{I_{En}} \quad \frac{1}{\gamma_E} - 1 = \frac{I_{Ep}}{I_{En}} \quad \beta \approx \frac{I_{En}}{I_{Ep}}$$

$$\frac{I_{En}}{I_{Ep}} = \frac{D_n n_{p0} W_E}{D_p p_{n0E} W_B} \quad \beta \approx \frac{D_n W_E n_{p0}}{D_p W_B p_{n0E}} \quad \begin{matrix} \nearrow n_{p0} = \frac{n_i^2}{N_{AB}} \\ \searrow p_{n0E} = \frac{n_i^2}{N_{DE}} \end{matrix}$$

$$\beta \approx \frac{D_n N_{DE} W_E}{D_p N_{AB} W_B}$$

# Modulación del ancho de la base (Efecto EARLY)



$$\frac{dn_p(x)}{dx} = -\frac{n_p(0)}{W_B}$$

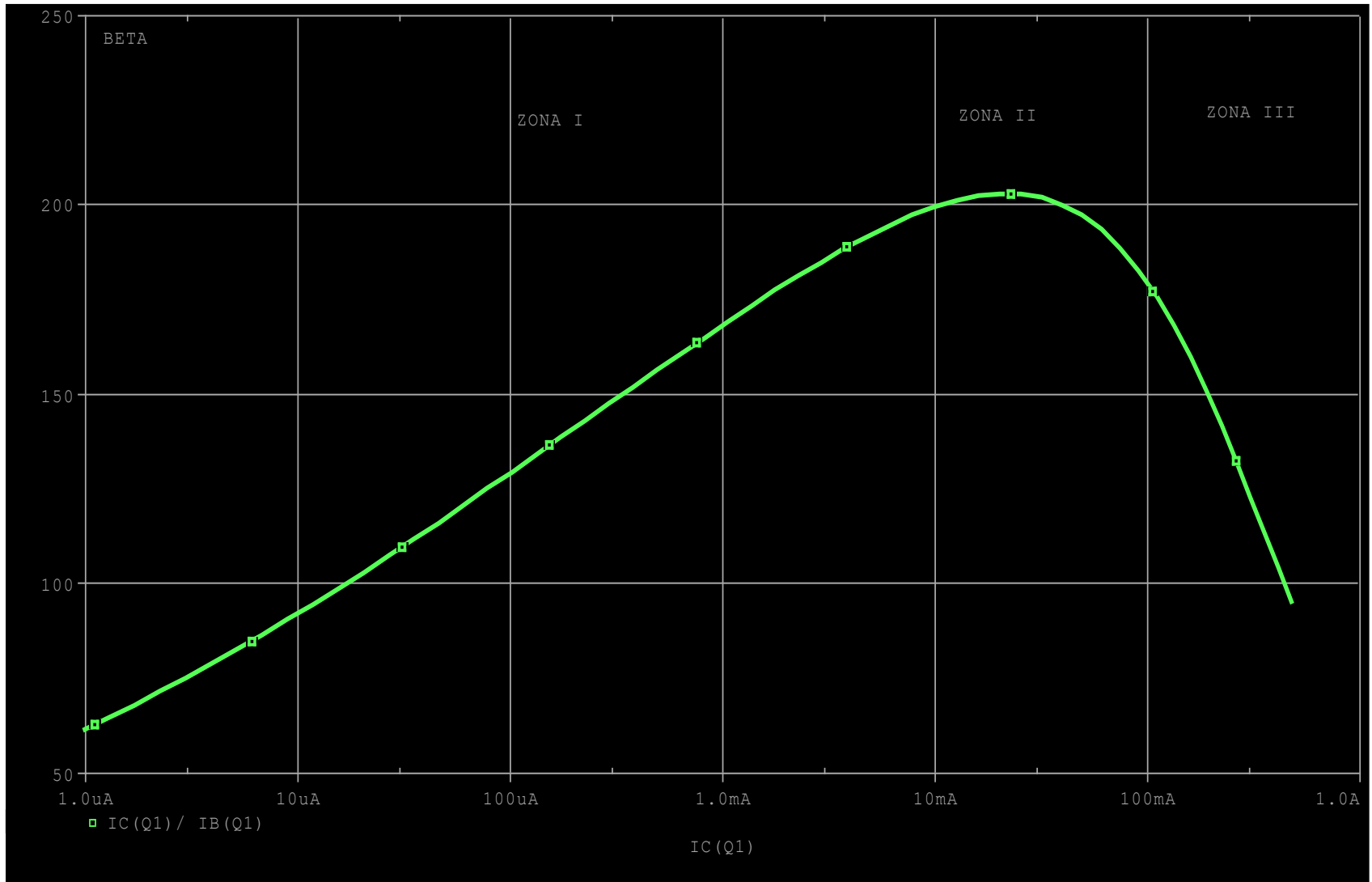
$$\frac{dn_{1p}(x)}{dx} = -\frac{n_p(0)}{W_{1B}}$$

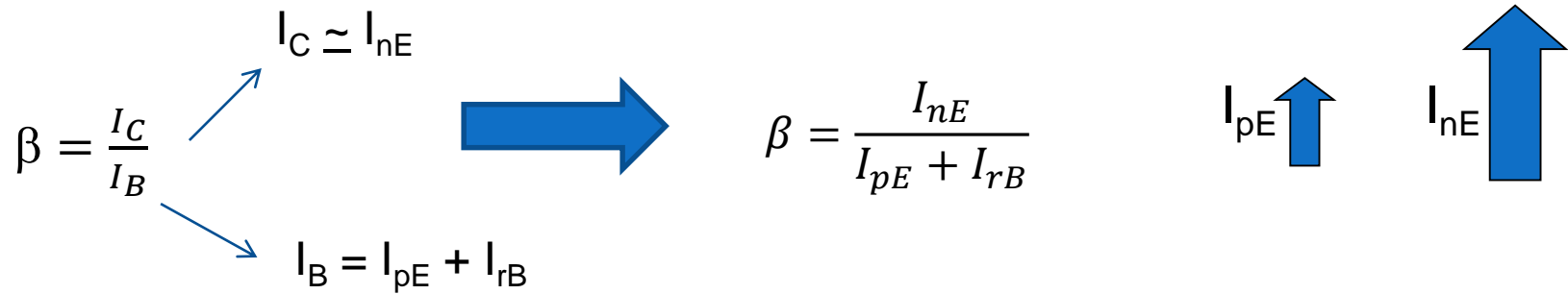


$$I_{En} = q D_n A_E \left. \frac{dn_p(x)}{dx} \right|_{x=}$$

$$I_C = (1 + V_{CE}/V_A) I_S \exp(V_{BE}/U_T)$$

# $\beta$ vs IC





Zona I • La corriente  $I_{rB}$  es del orden de  $I_{pE}$  por lo que no puede despreciarse

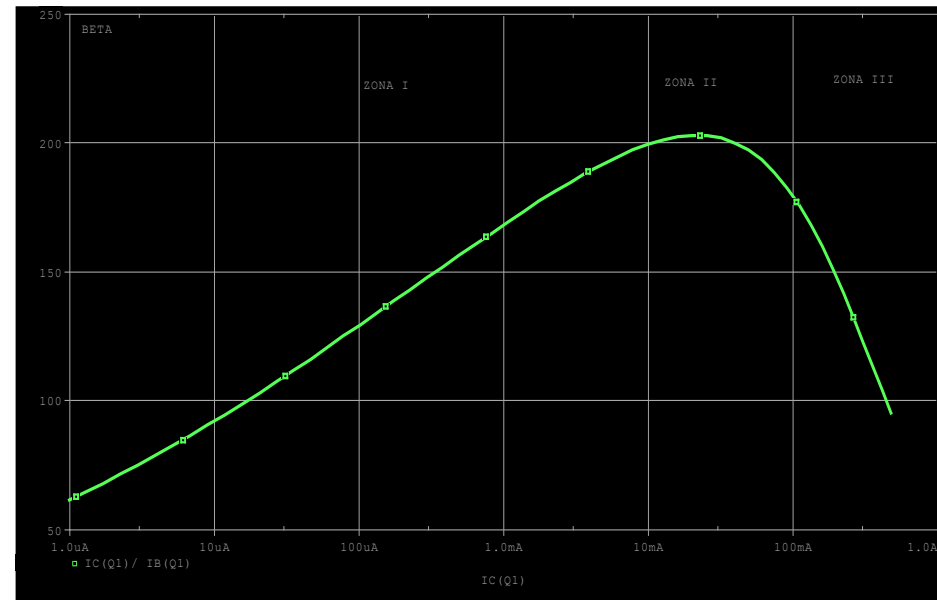
$I_{rB}$	$I_{pE}$	$I_{nE}$	$\beta$
1 $\mu$ A	1 $\mu$ A	100 $\mu$ A	50
1 $\mu$ A	10 $\mu$ A	1000 $\mu$ A	90
1 $\mu$ A	100 $\mu$ A	10000 $\mu$ A	99

Zona II

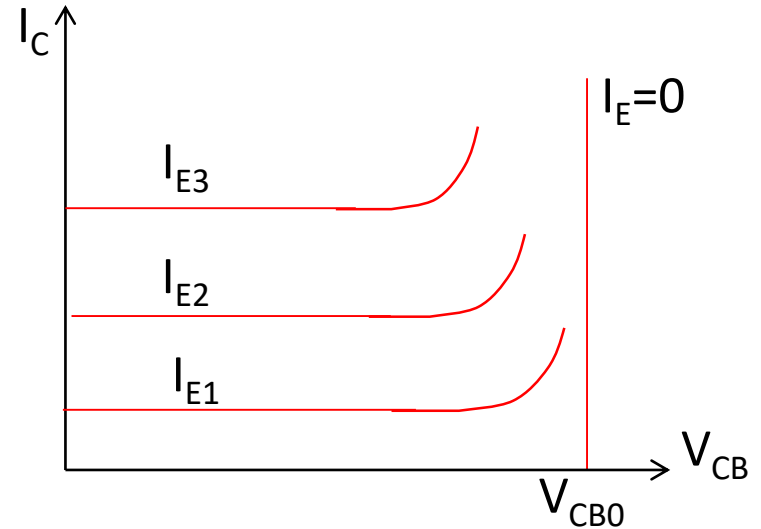
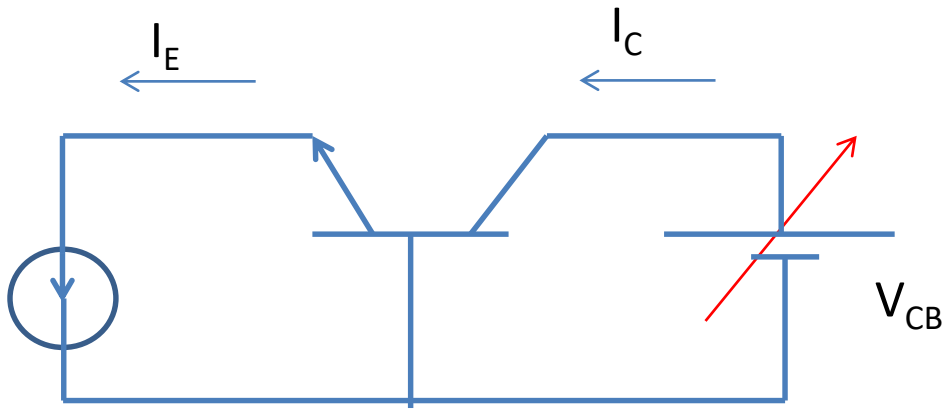
- La corriente  $I_{rB}$  puede despreciarse

Zona III

- Inyección de alto nivel



# Tensión de ruptura $V_{CB}$



$$I_C = -\alpha * M * I_E$$

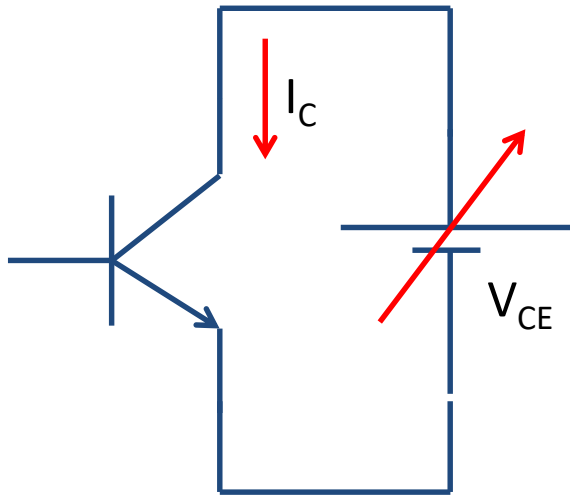
Cuando llega a la ruptura  $\alpha M > 1$

M: Factor de Multiplicación

$V_{CB0}$ : Parámetro del TBJ

$$M = \frac{1}{1 - \left(\frac{V_{CB}}{V_{CB0}}\right)^n}$$

# Tensión de ruptura $V_{CE}$



$$I_C = \beta I_B \quad \beta = \frac{\alpha}{1 - \alpha}$$

$$I_C = \frac{\alpha M}{1 - \alpha M} I_B$$

Cuando  $\alpha M = 1$

$$I_C \rightarrow \infty$$

$$\alpha M = \frac{\alpha}{1 - \left(\frac{V_{CB}}{V_{CB0}}\right)^n} = 1$$

$$\alpha = 1 - \left(\frac{V_{CB}}{V_{CB0}}\right)^n$$

$$\frac{V_{CB}}{V_{CB0}} = \sqrt[n]{1 - \alpha}$$

$$V_{CB} = V_{CB0} \sqrt[n]{1 - \alpha}$$

$$V_{CB} \approx V_{CE}$$

$$V_{CE} = V_{CB0} \sqrt[n]{1 - \alpha}$$

*Multiplico y divido el segundo miembro por  $\alpha$*

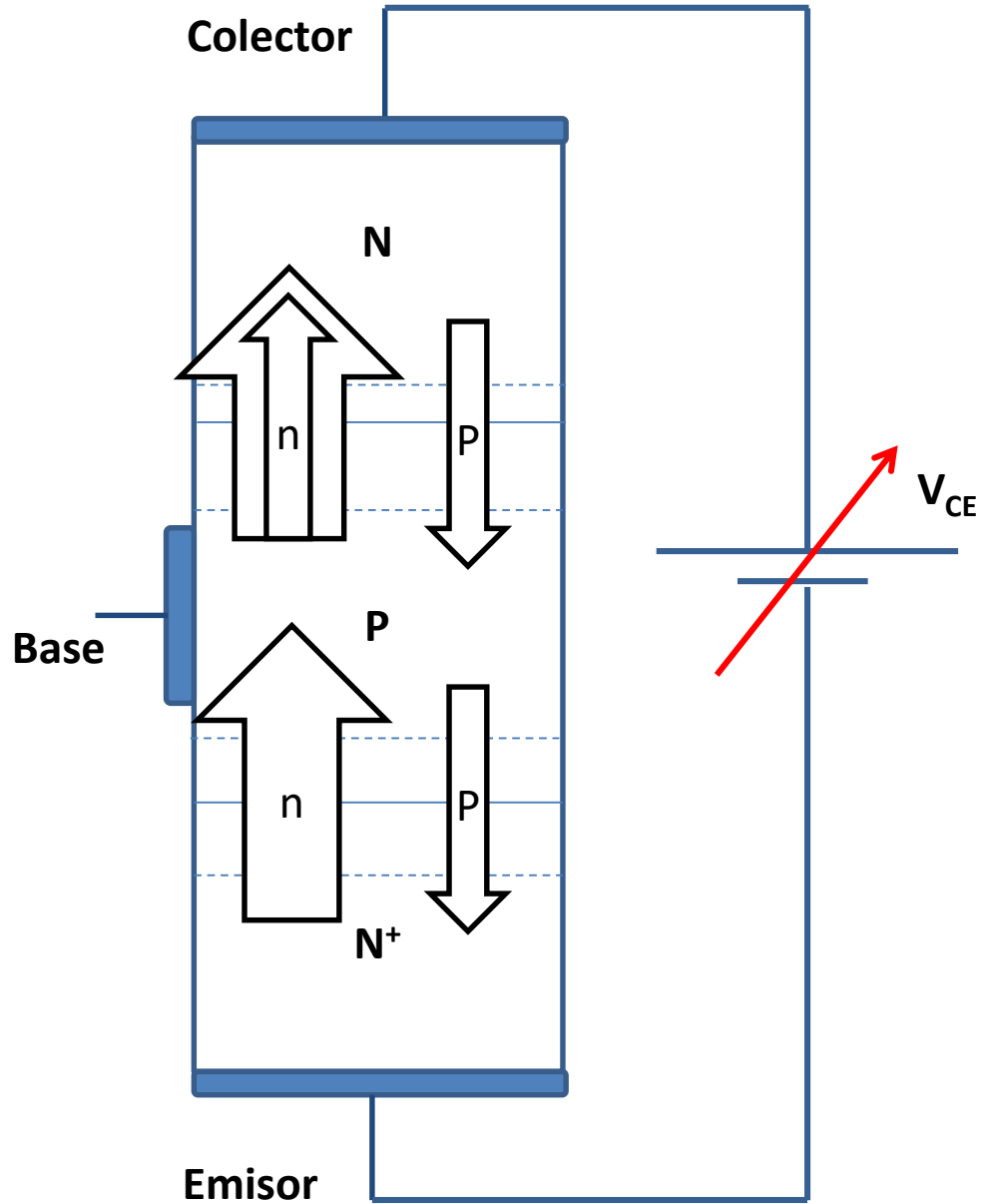
$$\alpha \approx 1$$

$$V_{CE} = V_{CB0} \sqrt[n]{\frac{1 - \alpha}{\alpha}}$$

$$V_{CE} = \frac{V_{CB0}}{\sqrt[n]{\beta}}$$

Cuanto más grande sea el valor de  $\beta$  menor es la ruptura  $V_{CEO}$

# Tensión de ruptura $V_{CE}$





# Máximos Absolutos



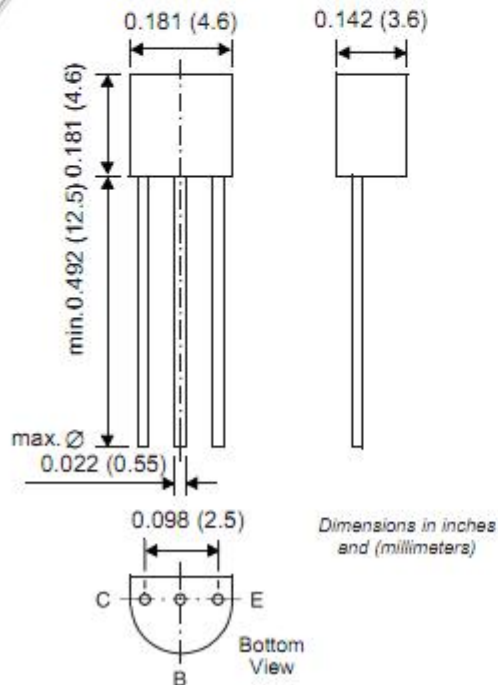
## BC546 thru BC548

Vishay Semiconductors  
formerly General Semiconductor

### Small Signal Transistors (NPN)



TO-226AA (TO-92)



### Features

- NPN Silicon Epitaxial Planar Transistors
- These transistors are subdivided into three groups A, B, and C according to their current gain. The type BC546 is available in groups A and B, however, the types BC547 and BC548 can be supplied in all three groups. As complementary types the PNP transistors BC556...BC558 are recommended.
- On special request, these transistors are also manufactured in the pin configuration TO-18.

### Mechanical Data

**Case:** TO-92 Plastic Package

**Weight:** approx. 0.18g

**Packaging Codes/Options:**

E6/Bulk – 5K per container, 20K/box

E7/4K per Ammo mag., 20K/box

## Maximum Ratings & Thermal Characteristics Ratings at 25°C ambient temperature unless otherwise specified.

Parameter		Symbol	Value	Unit
Collector-Base Voltage	BC546	V <sub>CB0</sub>	80	V
	BC547		50	
	BC548		30	
Collector-Emitter Voltage	BC546	V <sub>CES</sub>	80	V
	BC547		50	
	BC548		30	
Collector-Emitter Voltage	BC546	V <sub>CEO</sub>	65	V
	BC547		45	
	BC548		30	
Emitter-Base Voltage	BC546, BC547 BC548	V <sub>EBO</sub>	6 5	V
Collector Current		I <sub>C</sub>	100	mA
Peak Collector Current		I <sub>CM</sub>	200	mA
Peak Base Current		I <sub>BM</sub>	200	mA
Peak Emitter Current		-I <sub>EM</sub>	200	mA
Power Dissipation at T <sub>amb</sub> = 25°C		P <sub>tot</sub>	500 <sup>(1)</sup>	mW
Thermal Resistance Junction to Ambient Air		R <sub>θJA</sub>	250 <sup>(1)</sup>	°C/W
Junction Temperature		T <sub>j</sub>	150	°C
Storage Temperature Range		T <sub>S</sub>	-65 to +150	°C

Note: (1) Valid provided that leads are kept at ambient temperature at a distance of 2 mm from case.

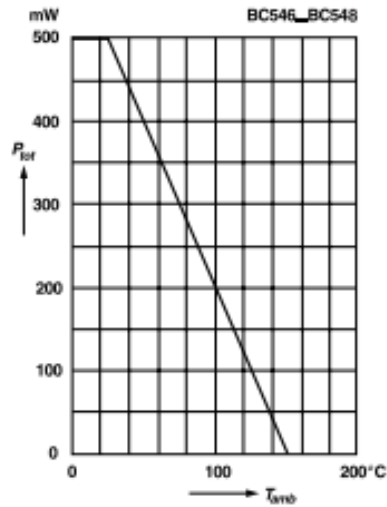
## Electrical Characteristics (T<sub>J</sub> = 25°C unless otherwise noted)

Parameter	Symbol	Test Condition	Min	Typ	Max	Unit		
Small Signal Current Gain	Current gain group A	$V_{CE} = 5\text{ V}, I_C = 2\text{ mA},$ $f = 1\text{ kHz}$	—	220	—	—		
	B		—	330	—			
	C		—	600	—			
Input Impedance	Current gain group A	$V_{CE} = 5\text{ V}, I_C = 2\text{ mA},$ $f = 1\text{ kHz}$	1.6	2.7	4.5	k $\Omega$		
	B		3.2	4.5	8.5			
	C		6	8.7	15			
Output Admittance	Current gain group A	$V_{CE} = 5\text{ V}, I_C = 2\text{ mA},$ $f = 1\text{ kHz}$	—	18	30	$\mu\text{S}$		
	B		—	30	60			
	C		—	60	110			
Reverse Voltage Transfer Ratio	Current gain group A	$V_{CE} = 5\text{ V}, I_C = 2\text{ mA},$ $f = 1\text{ kHz}$	—	$1.5 \cdot 10^{-4}$	—	—		
	B		—	$2 \cdot 10^{-4}$	—			
	C		—	$3 \cdot 10^{-4}$	—			
DC Current Gain	Current gain group A	$V_{CE} = 5\text{ V}, I_C = 10\text{ }\mu\text{A}$	—	90	—	—		
			B	—	150		—	
			C	—	270		—	
	Current gain group A		$V_{CE} = 5\text{ V}, I_C = 2\text{ mA}$	110	180		220	
				B	200		290	450
				C	420		500	800
	Current gain group A		$V_{CE} = 5\text{ V}, I_C = 100\text{ mA}$	—	120		—	
				B	—		200	—
				C	—		400	—
Collector Saturation Voltage	$V_{CEsat}$	$I_C = 10\text{ mA}, I_B = 0.5\text{ mA}$	—	80	200	mV		
		$I_C = 100\text{ mA}, I_B = 5\text{ mA}$	—	200	600			
Base Saturation Voltage	$V_{BEsat}$	$I_C = 10\text{ mA}, I_B = 0.5\text{ mA}$	—	700	—	mV		
		$I_C = 100\text{ mA}, I_B = 5\text{ mA}$	—	900	—			
Base-Emitter Voltage	$V_{BE}$	$V_{CE} = 5\text{ V}, I_C = 2\text{ mA}$	580	660	700	mV		
		$V_{CE} = 5\text{ V}, I_C = 10\text{ mA}$	—	—	720			
Collector-Emitter Cutoff Current	BC546	$I_{CES}$	$V_{CE} = 80\text{ V}$	—	0.2	15	nA	
	BC547		$V_{CE} = 50\text{ V}$	—	0.2	15	nA	
	BC548		$V_{CE} = 30\text{ V}$	—	0.2	15	nA	
	BC546		$V_{CE} = 80\text{ V}, T_J = 125^\circ\text{C}$	—	—	4	$\mu\text{A}$	
	BC547		$V_{CE} = 50\text{ V}, T_J = 125^\circ\text{C}$	—	—	4	$\mu\text{A}$	
	BC548		$V_{CE} = 30\text{ V}, T_J = 125^\circ\text{C}$	—	—	4	$\mu\text{A}$	
Gain-Bandwidth Product	$f_T$	$V_{CE} = 5\text{ V}, I_C = 10\text{ mA},$ $f = 100\text{ MHz}$	—	300	—	MHz		
Collector-Base Capacitance	$C_{CB0}$	$V_{CB} = 10\text{ V}, f = 1\text{ MHz}$	—	3.5	6	pF		
Emitter-Base Capacitance	$C_{EB0}$	$V_{EB} = 0.5\text{ V}, f = 1\text{ MHz}$	—	9	—	pF		
Noise Figure	BC546, BC547 BC548	$F$	$V_{CE} = 5\text{ V}, I_C = 200\text{ }\mu\text{A},$ $R_G = 2\text{ k}\Omega, f = 1\text{ kHz},$ $\Delta f = 200\text{ Hz}$	—	2	10	dB	

# Ratings and Characteristic Curves ( $T_A = 25^\circ\text{C}$ unless otherwise noted)

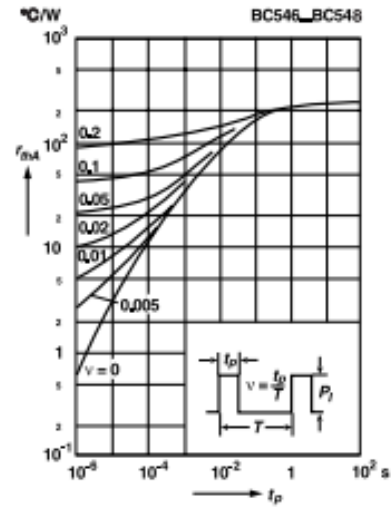
## Admissible power dissipation versus temperature

Valid provided that leads are kept at ambient temperature at a distance of 2 mm from case

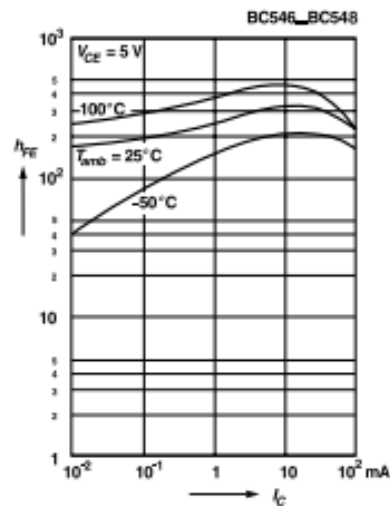


## Pulse thermal resistance versus pulse duration

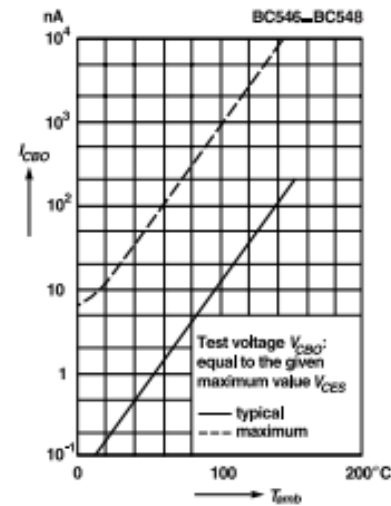
Valid provided that leads are kept at ambient temperature at a distance of 2 mm from case



## DC current gain versus collector current



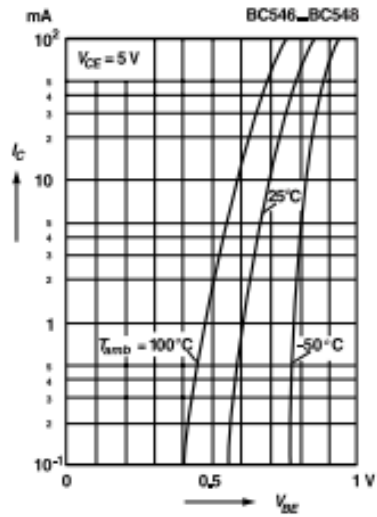
## Collector-base cutoff current versus ambient temperature



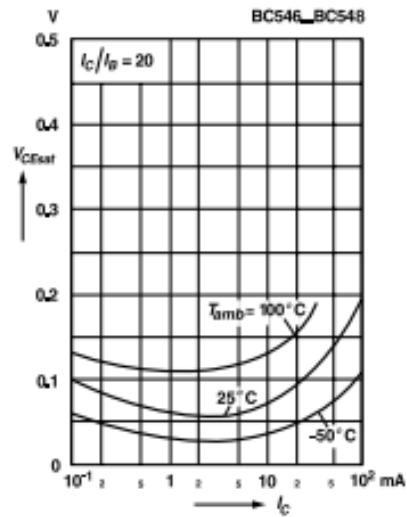
# Ratings and Characteristic Curves

( $T_A = 25^\circ\text{C}$  unless otherwise noted)

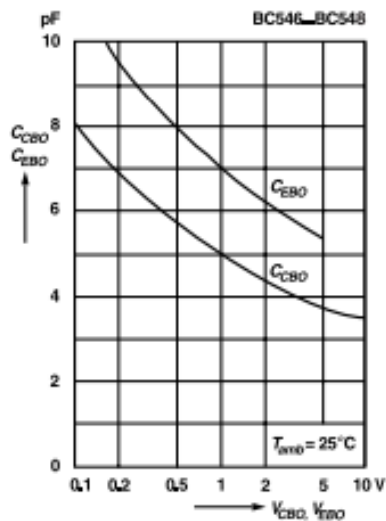
Collector current versus base-emitter voltage



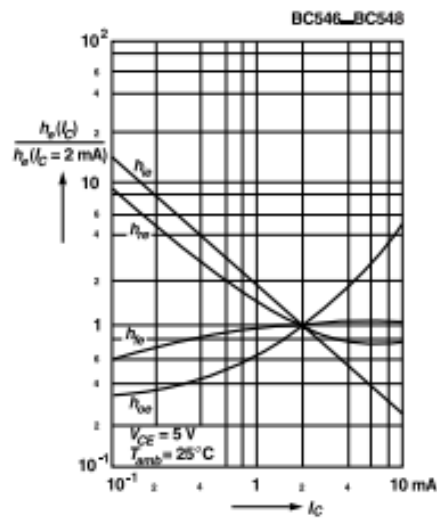
Collector saturation voltage versus collector current



Collector-base capacitance, Emitter-base capacitance versus reverse bias voltage



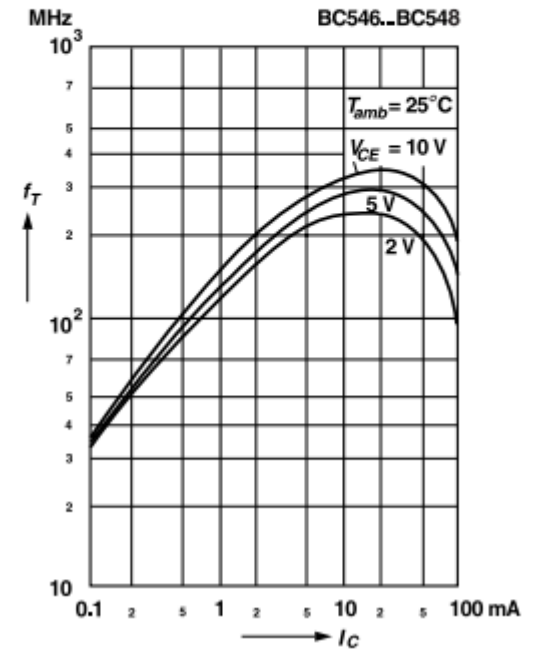
Relative h-parameters versus collector current



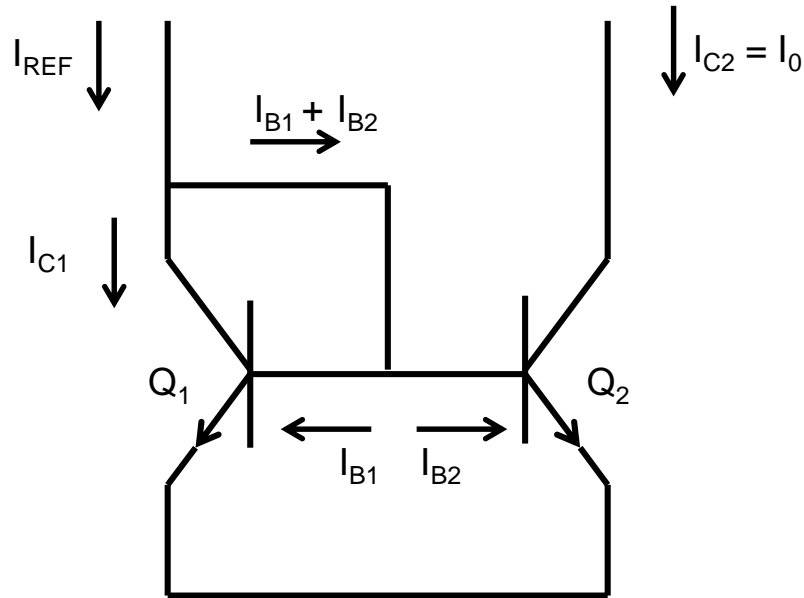
# Ratings and Characteristic Curves

( $T_A = 25^\circ\text{C}$  unless otherwise noted)

Gain-bandwidth product versus collector current



# Fuente Espejo



$$I_{C1} = I_{S1} e^{\frac{V_{BE1}}{U_T}}$$

$$I_{C2} = I_{S2} e^{\frac{V_{BE2}}{U_T}}$$

$$V_{BE1} = V_{BE2} \quad \frac{I_{C1}}{I_{C2}} = \frac{I_{S1}}{I_{S2}}$$

$$Q_1 = Q_2$$

$$I_{REF} = I_{C1} + I_{B1} + I_{B2}$$

$$I_{B1} = I_{B2} = I_B$$

$$I_{REF} = I_{C1} + 2I_B$$

$$I_{C1} = I_{C2}$$

$$I_{REF} = I_{C2} + 2I_B$$

$$I_{C2} = I_0$$

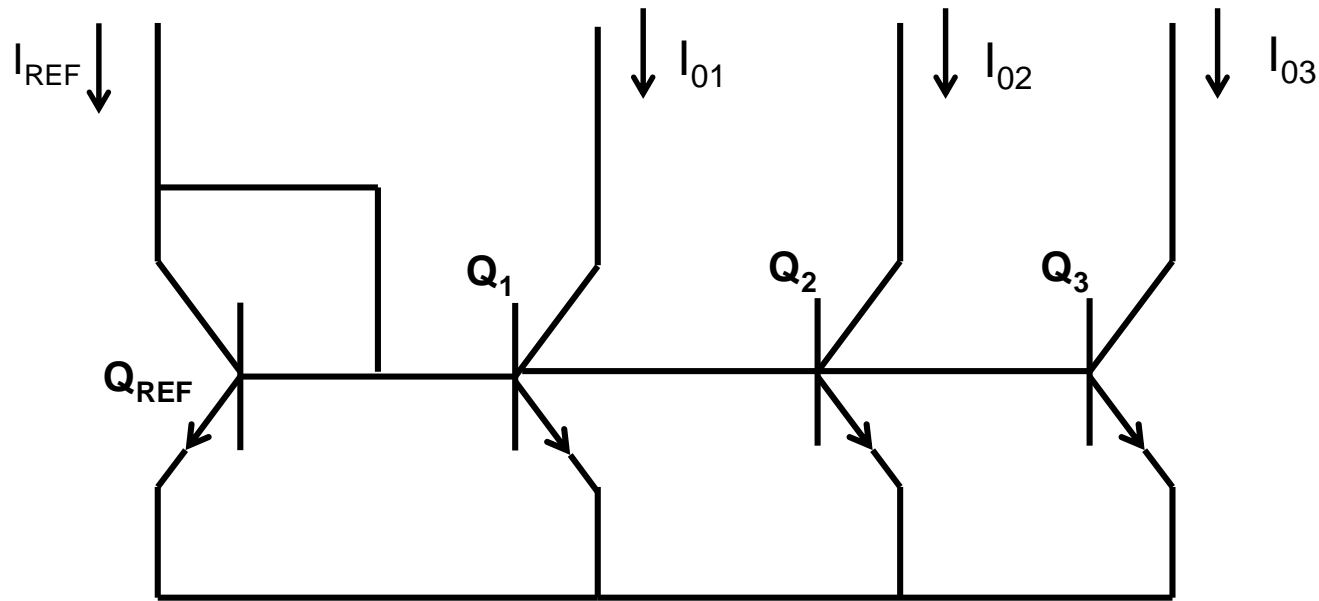
$$I_{REF} = I_0 + 2I_B$$

$$I_B = \frac{I_{C1,2}}{\beta} = \frac{I_0}{\beta}$$

$$I_{REF} = I_0 + 2 \frac{I_0}{\beta}$$

$$I_0 = \frac{I_{REF}}{1 + \frac{2}{\beta}}$$

# Fuente Espejo



$$I_{S1} = I_{SREF} \quad \rightarrow \quad I_{01} = I_{REF}$$

$$I_{S2} = 2 I_{SREF} \quad \rightarrow \quad I_{02} = 2 I_{REF}$$

$$I_{S3} = 4 I_{SREF} \quad \rightarrow \quad I_{03} = 4 I_{REF}$$

# Fuente Espejo de 3 Transistores

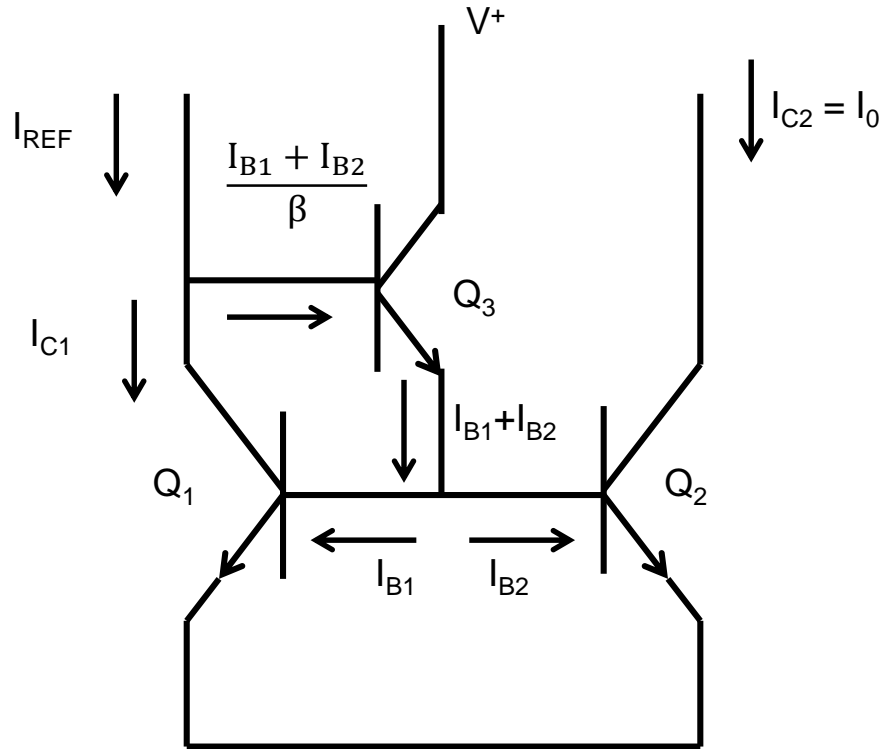
$$I_{REF} = I_{C1} + \frac{I_{B1} + I_{B2}}{\beta}$$

$$I_{B1} = I_{B2} = \frac{I_{C1}}{\beta}$$

$$I_{REF} = I_{C1} + \frac{2I_{C1}}{\beta^2}$$

$$I_{REF} = I_{C1} \left( 1 + \frac{2}{\beta^2} \right)$$

$$I_0 = \frac{I_{REF}}{\left( 1 + \frac{2}{\beta^2} \right)}$$

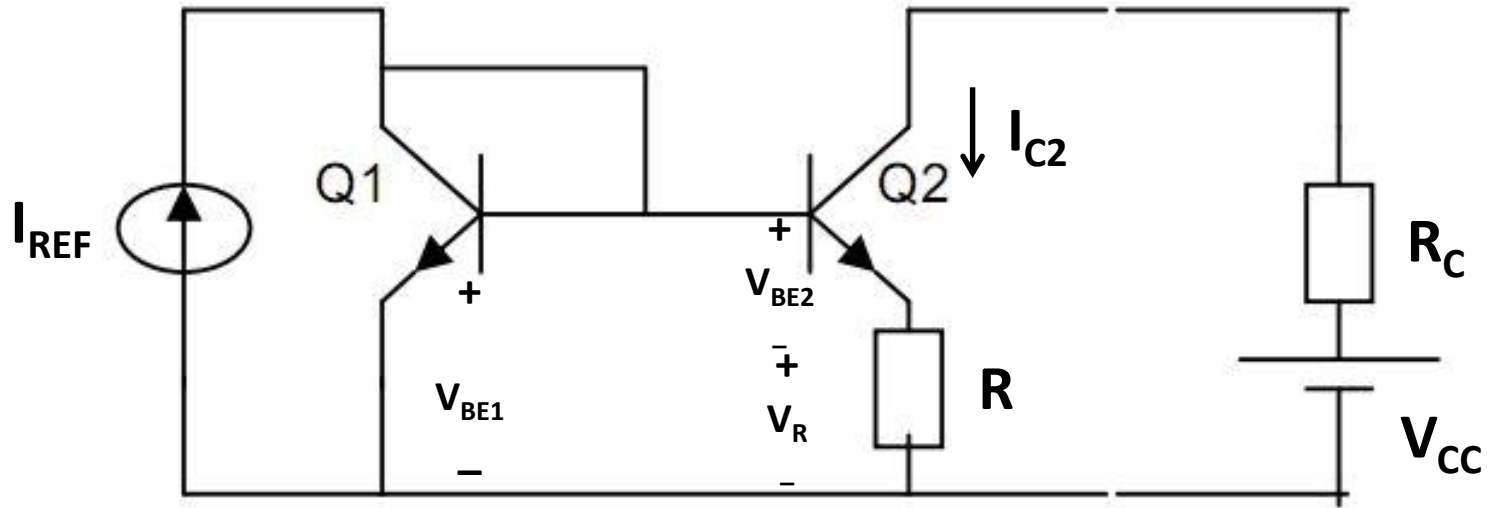


$$I_{C1} = I_{C2} = I_0$$

$$I_{REF} = I_0 \left( 1 + \frac{2}{\beta^2} \right)$$



# Fuente Espejo Desequilibrada



$$I_{C1} = I_{S1} e^{\frac{V_{BE1}}{U_T}}$$

$$\frac{I_{C1}}{I_{C2}} = \frac{I_{S1}}{I_{S2}} e^{\frac{V_{BE1} - V_{BE2}}{U_T}}$$

$$Q_1 \equiv Q_2$$

$$\frac{I_{C1}}{I_{C2}} = e^{\frac{V_{BE1} - V_{BE2}}{U_T}}$$

$$I_{C2} = I_{S2} e^{\frac{V_{BE2}}{U_T}}$$

$$I_{S1} \equiv I_{S2}$$

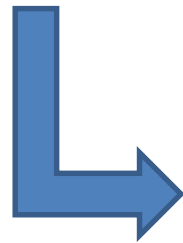
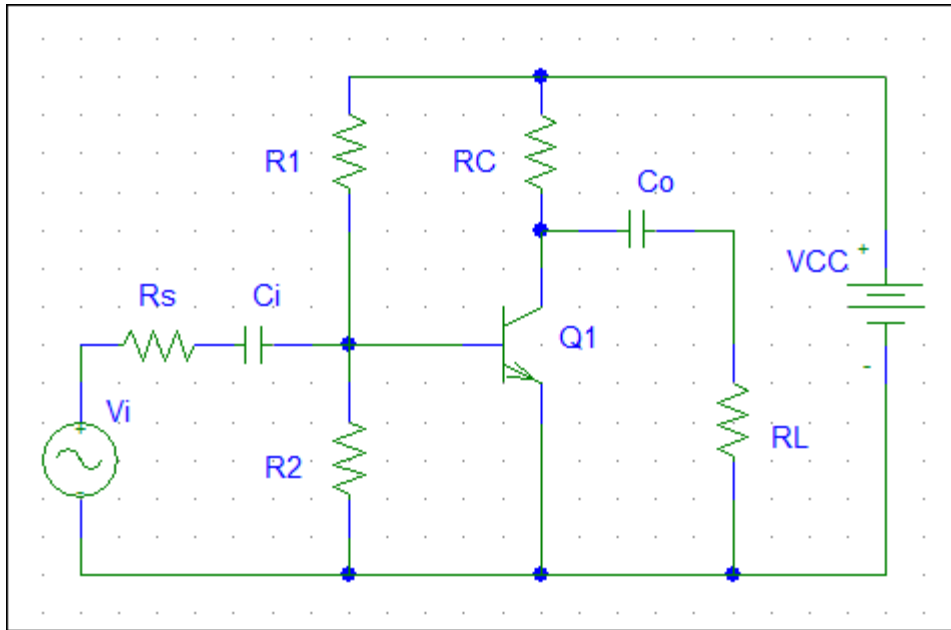
$$V_{BE1} - V_{BE2} = I_{C2} \times R$$

Despreciando las corrientes  
de base  $I_{REF} \approx I_{C1}$

$$\frac{I_{REF}}{I_{C2}} = e^{\frac{I_{C2} \times R}{U_T}}$$

$$I_{REF} = I_{C2} e^{\frac{I_{C2} \times R}{U_T}}$$

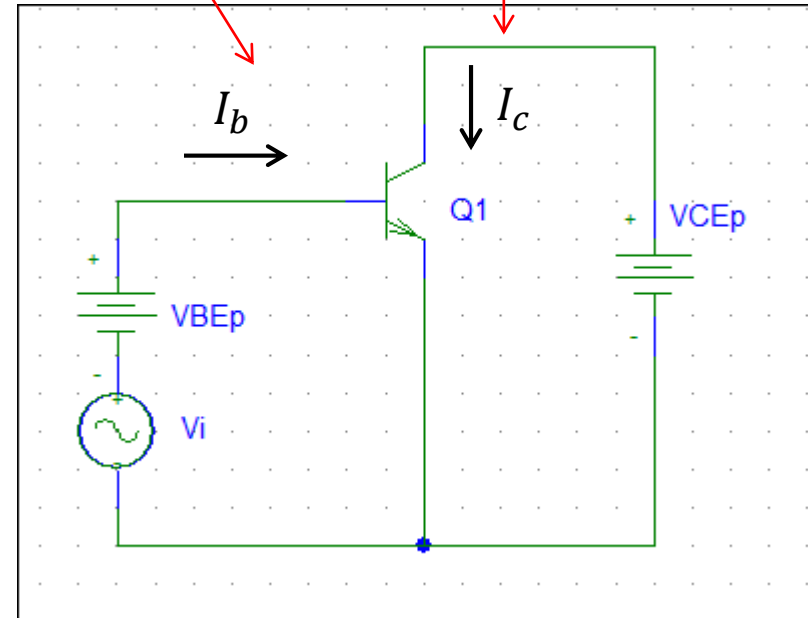
# El Transistor como Amplificador



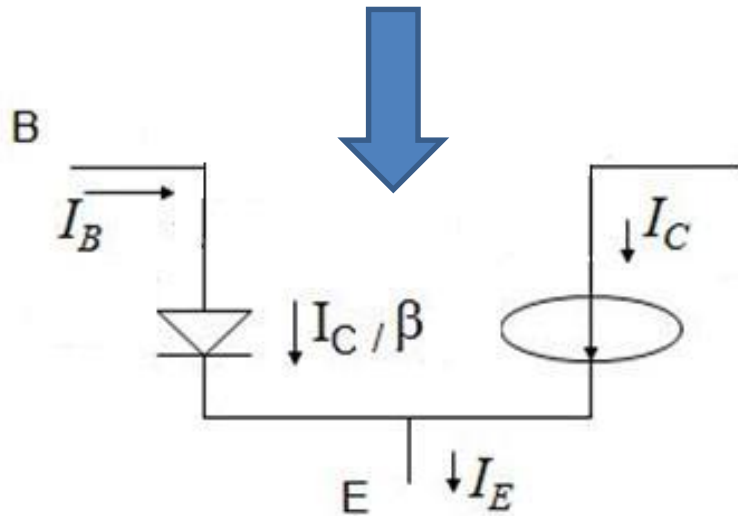
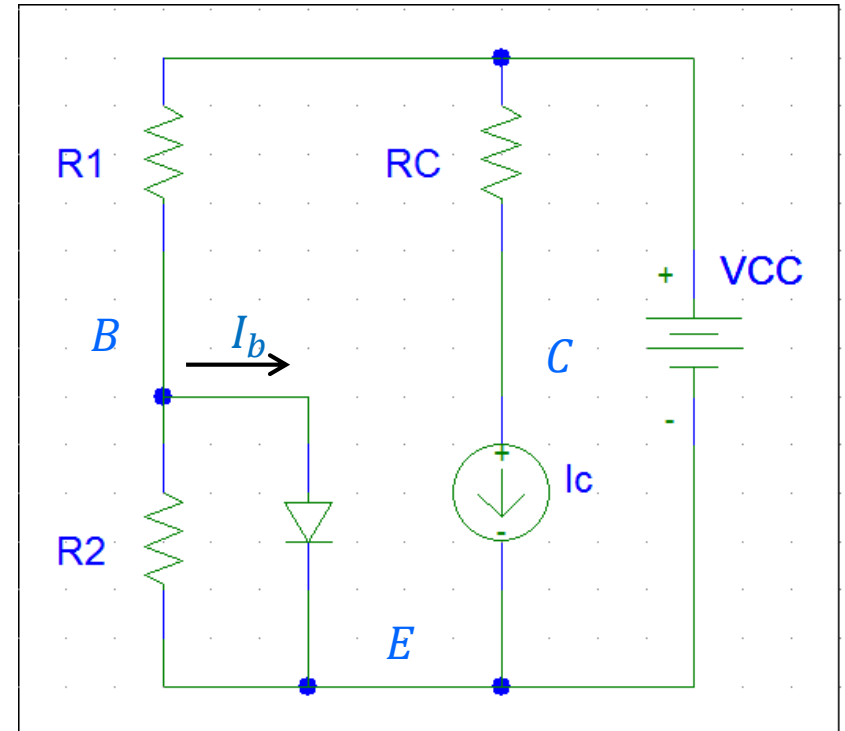
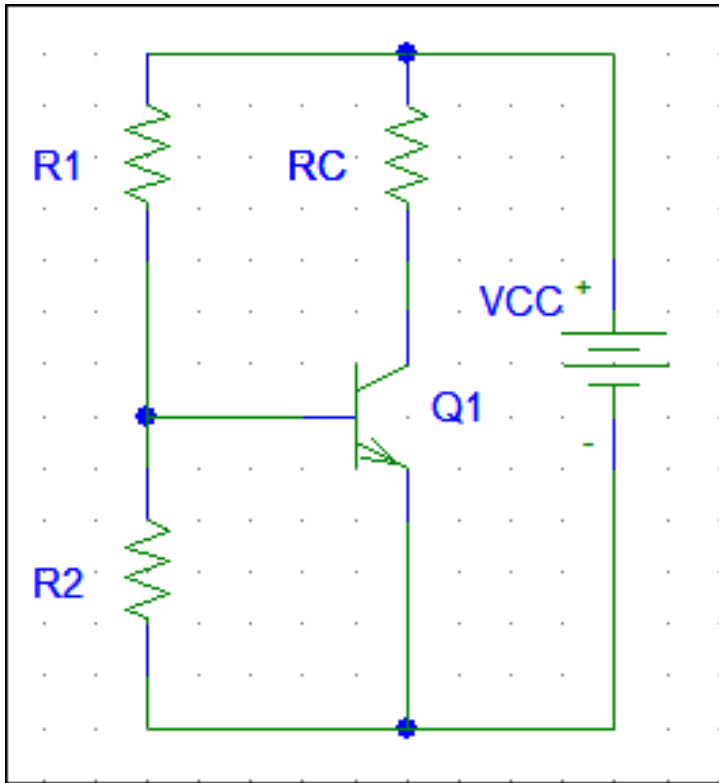
$$V_{be} = V_{BEp} + v_i$$

$$I_c = I_{CP} + i_c$$

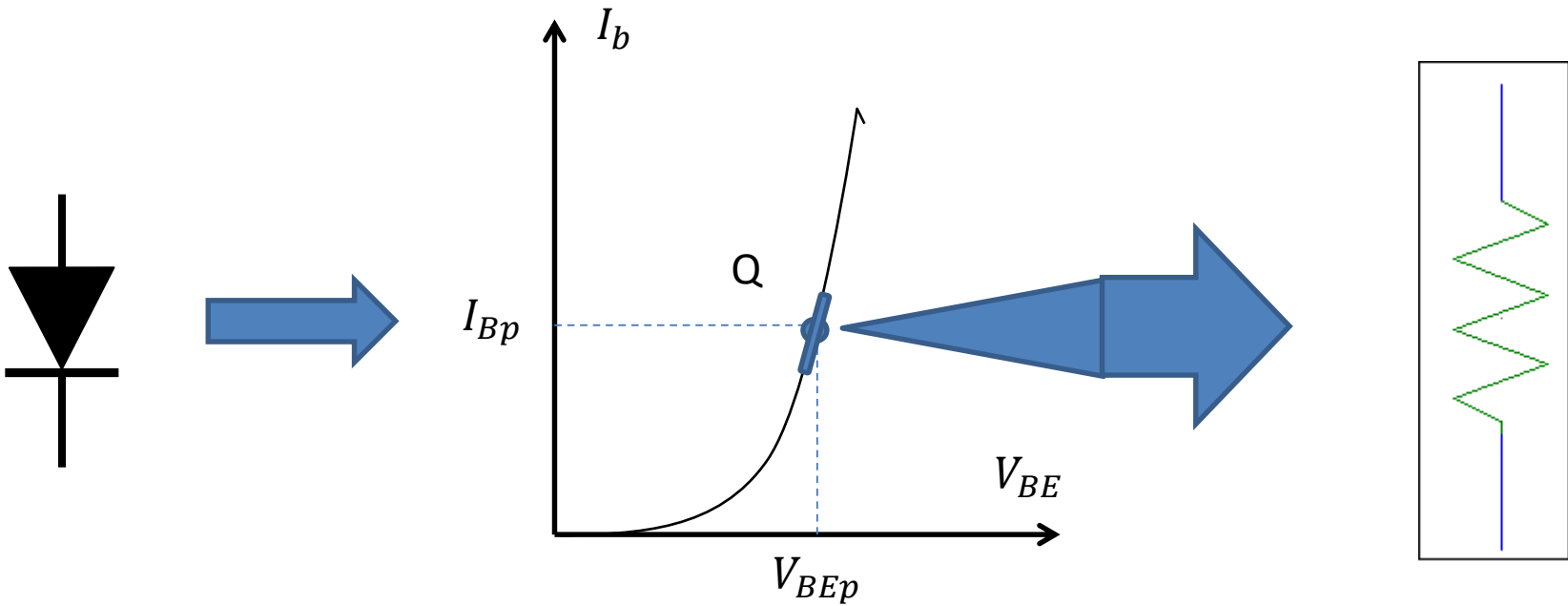
$$I_b = I_{Bp} + i_b$$



# Circuito de Polarización



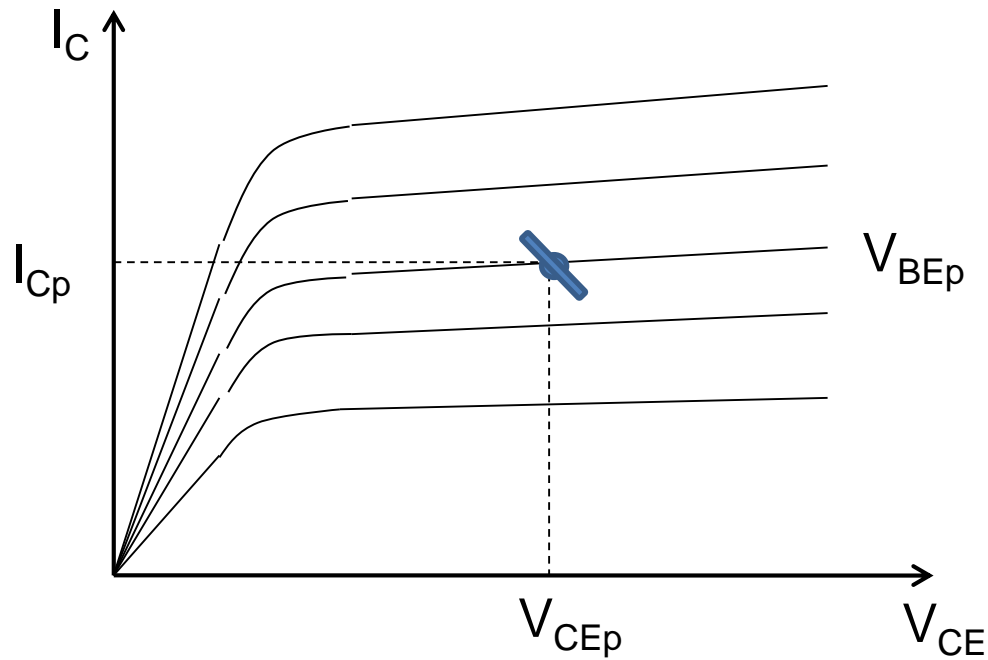
$$I_C = \left( 1 + \frac{V_{CE}}{V_A} \right) I_S e^{\frac{V_{BEp}}{U_T}}$$



Cuando  $V_i$  es pequeño puedo linealizar la exponencial

El diodo puedo reemplazarlo por un resistor ( $r_\pi$ )

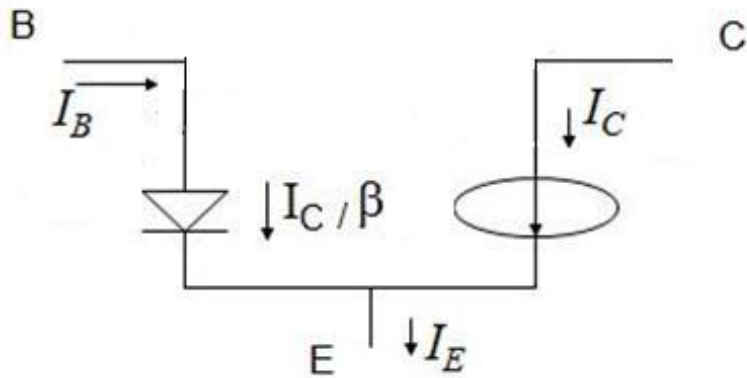
El valor del resistor se calcula como  $r_\pi = \left. \frac{dV_{BE}}{dI_B} \right|_{\text{Calculado en Q}}$



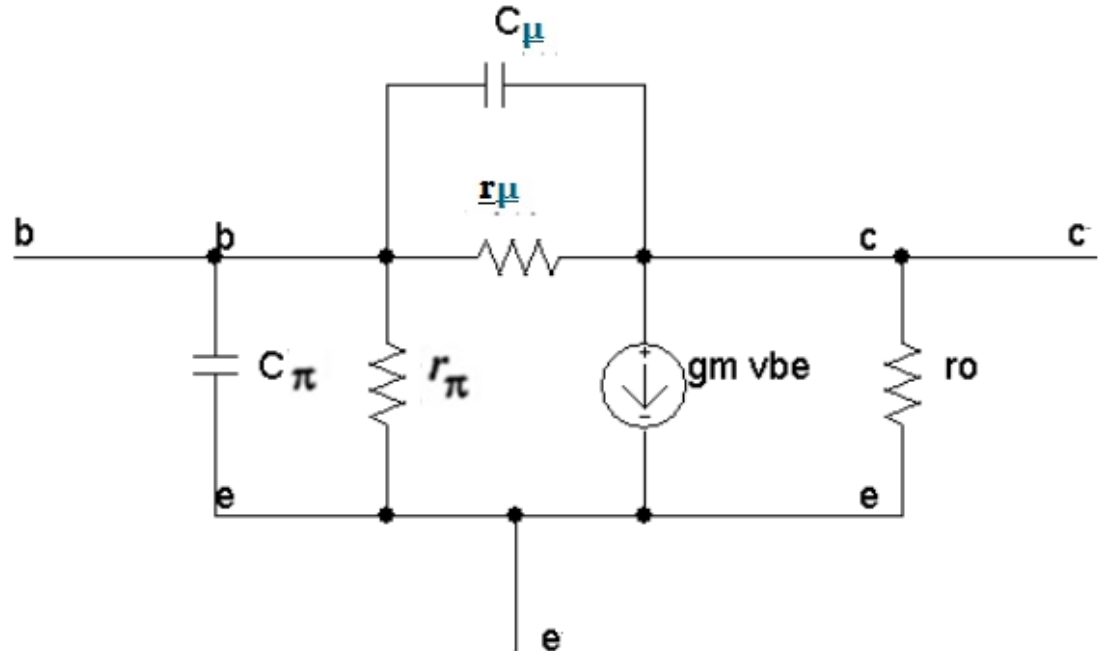
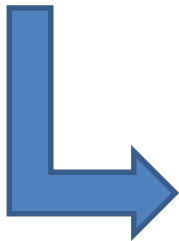
Cuando  $V_i$  es pequeño puedo linealizar la relación entre  $I_C$  y  $V_{BE}$

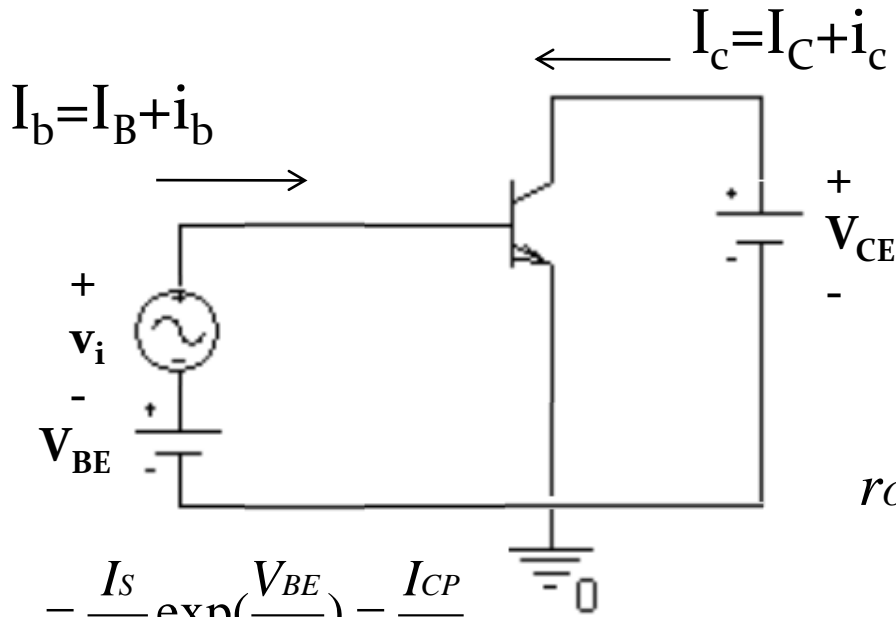
$$i_C = I_S e^{\frac{V_i}{U_T}} \quad i_C = g_m v_i \quad g_m = \left. \frac{dI_C}{dV_{BE}} \right|_{\text{Calculado en } Q}$$

# Modelo de Pequeña Señal configuración Emisor Común



$$I_S, \beta, V_A, V_{CBO} \Rightarrow \begin{matrix} V_{CEp} \\ I_{Cp} \\ V_{BEp} \end{matrix}$$





$$g_m = \left. \frac{dI_C}{dV_{BE}} \right|_{V_{BE}} = \frac{I_S}{U_T} \exp\left(\frac{V_{BE}}{U_T}\right) = \frac{I_{CP}}{U_T}$$

$$r_\pi = \left. \frac{dV_{BE}}{dI_B} \right|_{V_{BE}} = \beta \frac{U_T}{I_{CP}}$$

$$I_B = \frac{I_S}{\beta} \exp\left(\frac{V_{BE}}{U_T}\right)$$

$$\frac{dI_B}{dV_{BE}} = \frac{I_S}{\beta U_T} \exp\left(\frac{V_{BE}}{U_T}\right)$$

$$r_o = \frac{dV_{CE}}{dI_C} = \frac{V_A}{I_{CP}}$$

$$I_C = I_S \left(1 + \frac{V_{CE}}{V_A}\right) \exp\left(\frac{V_{BE}}{U_T}\right)$$

$$\frac{dI_C}{dV_{CE}} = \frac{I_S}{V_A} \exp\left(\frac{V_{BE}}{U_T}\right)$$

$$r_\mu = \frac{dV_{CE}}{dI_B} = \frac{dV_{CE}}{dI_C} * \frac{dI_C}{dI_B} = r_o \beta$$

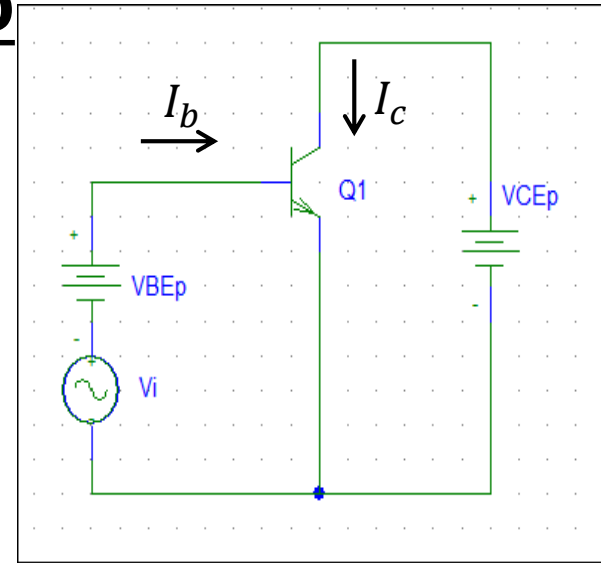
# Validez del Modelo

$$I_c = I_S e^{\left(\frac{V_{BEp} + v_i}{U_T}\right)}$$

$$I_c = I_{CP} + i_c$$

$$V_{be} = V_{BEp} + v_i$$

$$I_c = I_S e^{\left(\frac{V_{BEp}}{U_T}\right)} * e^{\left(\frac{v_i}{U_T}\right)}$$



$$I_c = I_{CP} * e^{\left(\frac{v_i}{U_T}\right)}$$

$$I_c = I_{CP} * \left(1 + \frac{v_i}{U_T}\right)$$

$$I_c - I_{CP} = i_c$$

$$i_c = I_{CP} \frac{v_i}{U_T}$$

$$\frac{i_c}{v_i} = \frac{I_{CP}}{U_T}$$



$$g_m = \frac{I_{CP}}{U_T}$$

$$\text{Si } \frac{v_i}{U_T} < 1$$



$$e^{\left(\frac{v_i}{U_T}\right)} = 1 + \frac{v_i}{U_T} + \frac{1}{2} \left(\frac{v_i}{U_T}\right)^2 + \frac{1}{3} \left(\frac{v_i}{U_T}\right)^3 + \dots$$

$$\text{Si } \frac{v_i}{U_T} \ll 1$$

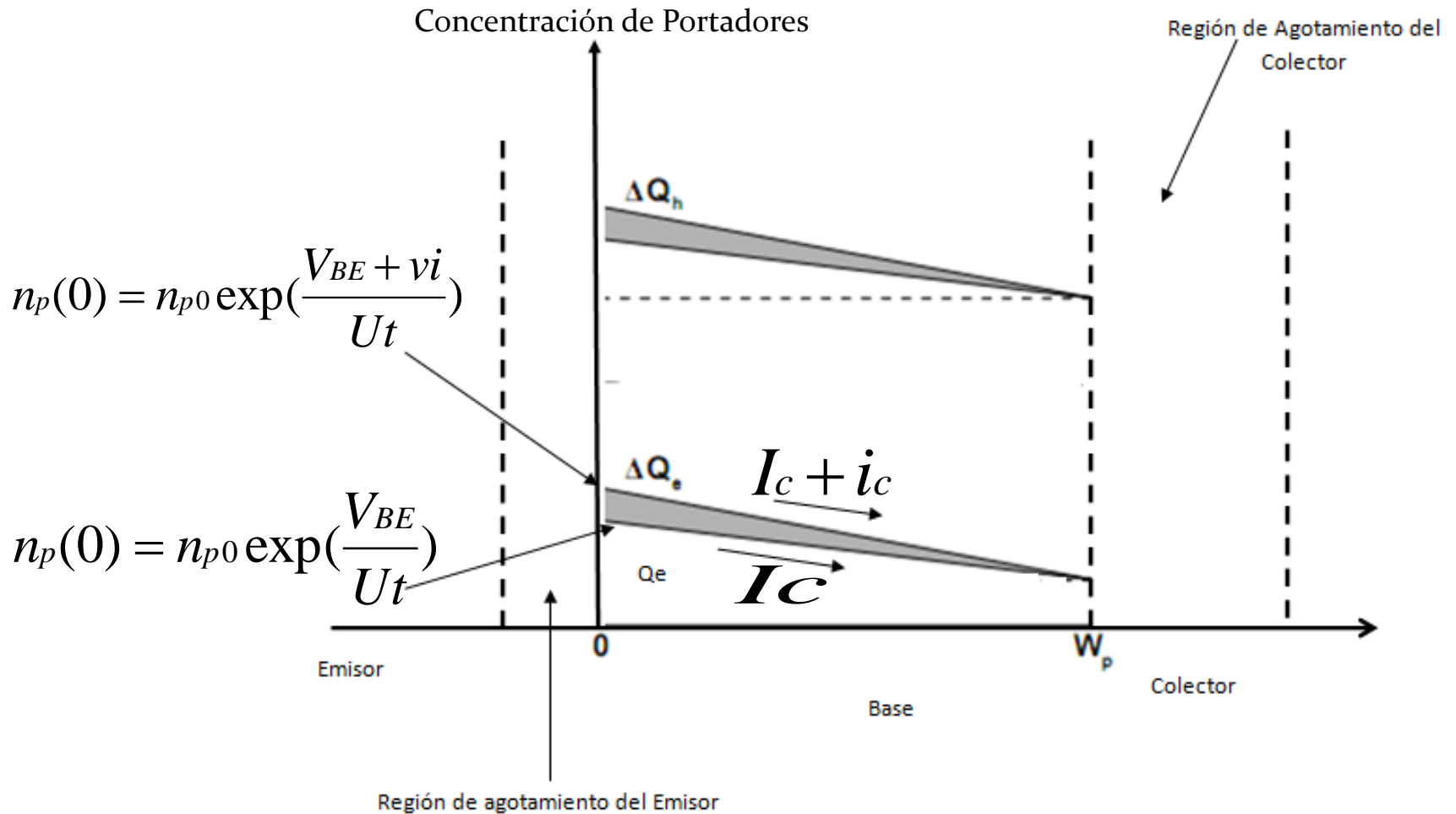


$$e^{\left(\frac{v_i}{U_T}\right)} \sim 1 + \frac{v_i}{U_T}$$

$$U_T = 26mV \Rightarrow v_i \sim 2.6 mV$$



# Capacitancias del Modelo



$$\Delta V_{BE} \rightarrow v_i \rightarrow \Delta Q_E \rightarrow \Delta Q_h$$

# Capacitancias del Modelo

$$\Delta V_{BE} \rightarrow v_i \rightarrow \Delta Q_E \rightarrow \Delta Q_h$$



Corriente Neutralidad

$$v_i \rightarrow q_h \Rightarrow \text{Capacidad } C_b = \frac{q_h}{v_i}$$

$$\frac{Q_E}{I_C} = \tau_F = \frac{W_B^2}{2D_n} \rightarrow \text{Tiempo de Tránsito}$$

$$\text{Si } \Delta Q_E = \Delta Q_h$$

$$\frac{\Delta Q_E}{\Delta I_C} = \frac{\Delta Q_h}{\Delta I_C} = \tau_F$$

$$q_h = \tau_F \dot{I}_C$$

$$\frac{q_h}{v_i} = \tau_F * g_m$$

$$\Rightarrow C_b = \tau_F * g_m$$

# Capacitancias del Modelo

$$C_{\pi} = C_{jBE} + C_b$$

Capacidad de Juntura  
Base-Emisor

Capacidad de Difusión  
Base-Emisor

$$C_{jBE} = \frac{C_{jBE0}}{\sqrt{1 - \frac{V_{BE}}{V_{j0BE}}}}$$

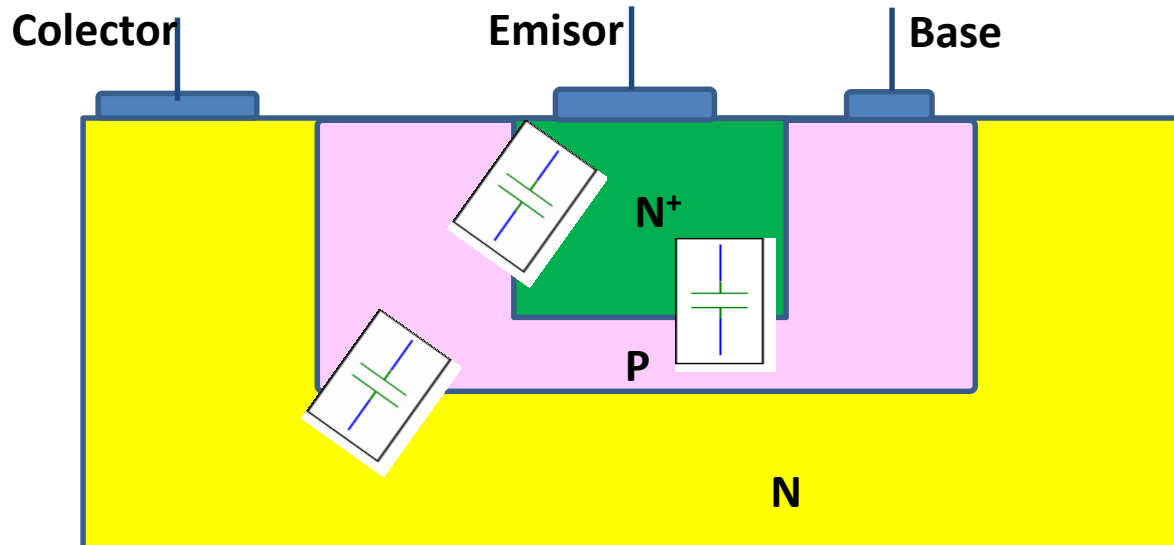
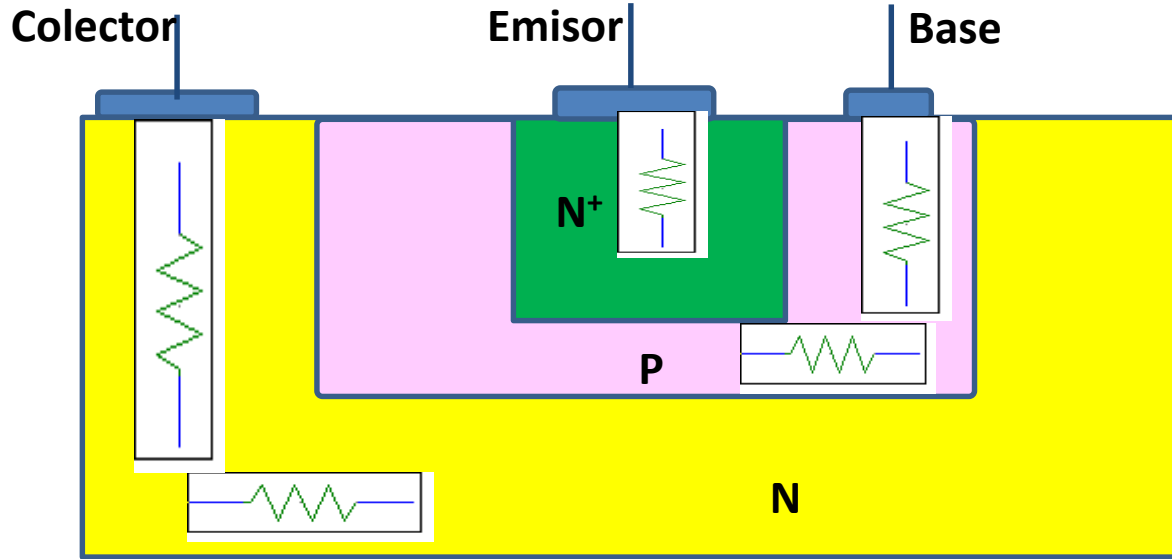
$$C_b = \tau_F \times g_m$$

$$C_{\mu} = C_{jBC}$$

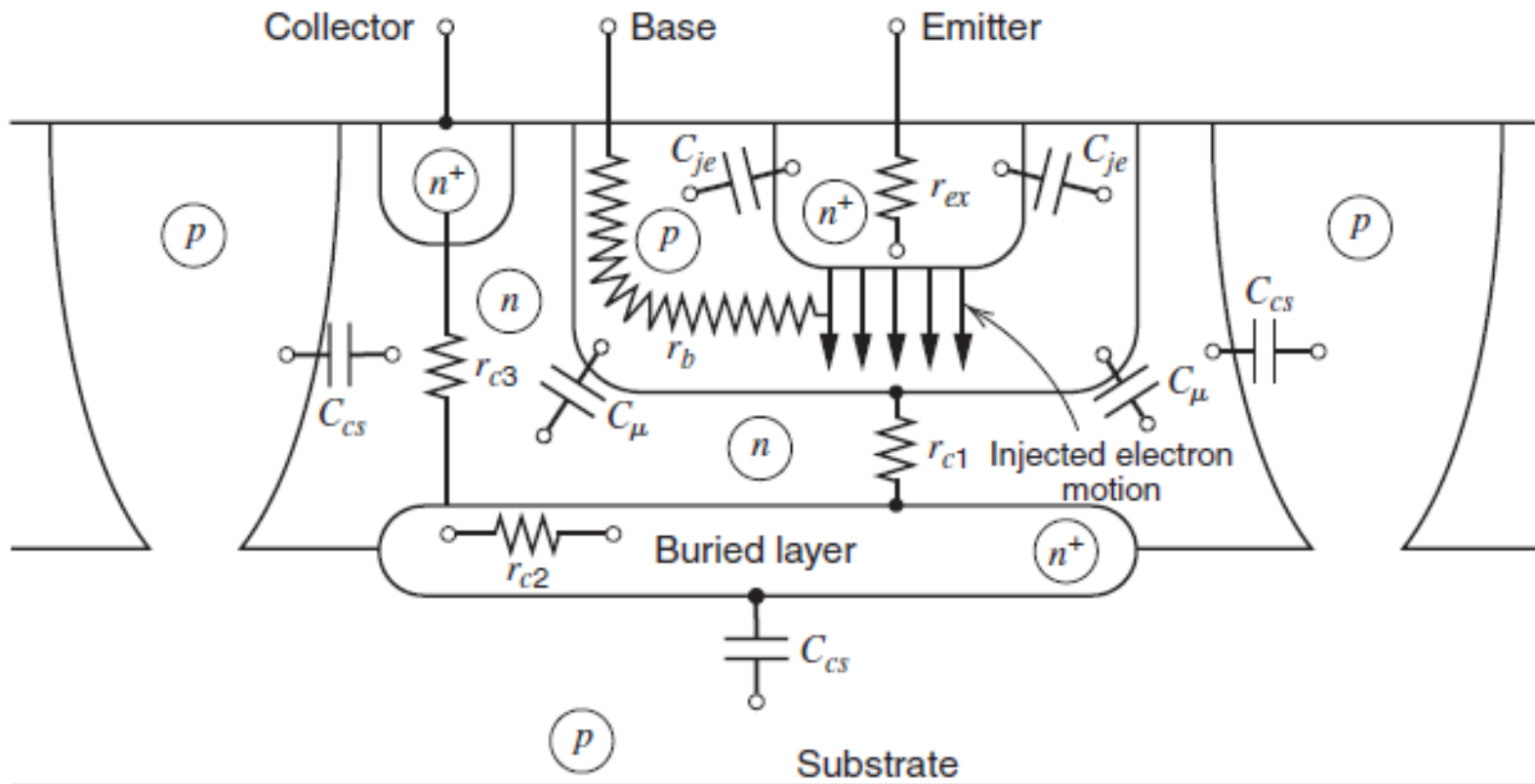
Capacidad de Juntura  
Base-Colector

$$C_{jBC} = \frac{C_{jBC0}}{\sqrt{1 - \frac{V_{BC}}{V_{j0BC}}}}$$

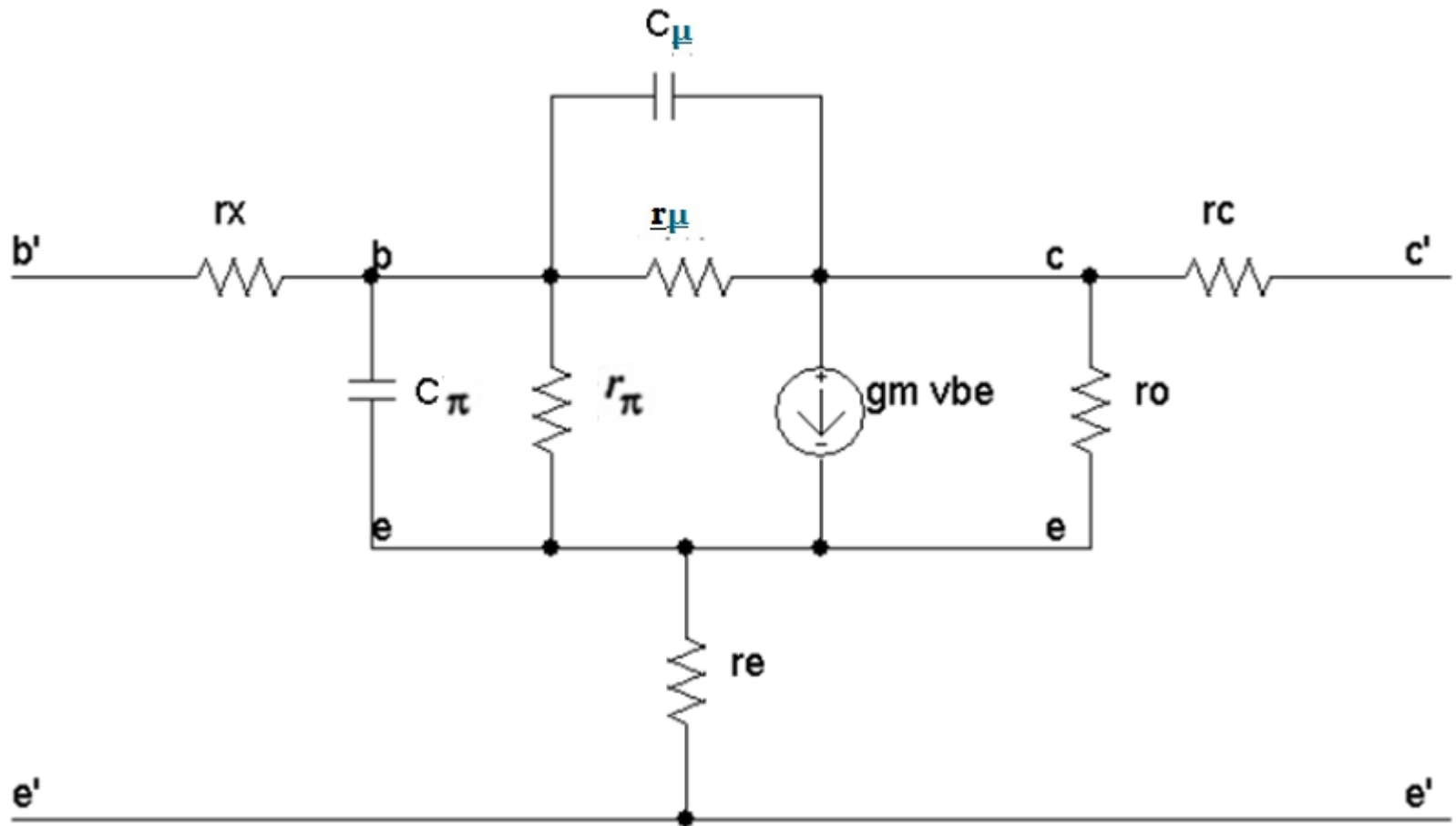
# Elementos parásitos



# Resistencias y Capacitancias Parásitas

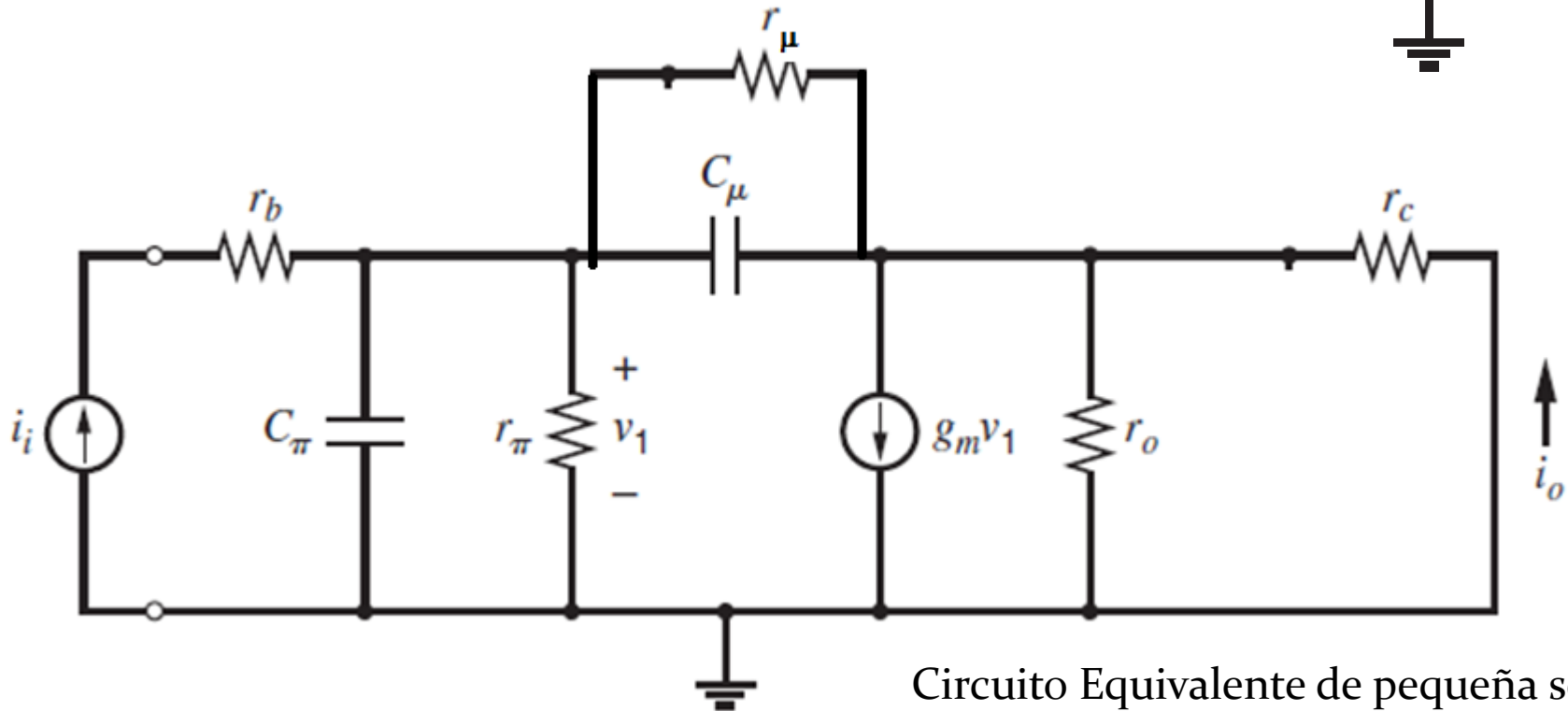
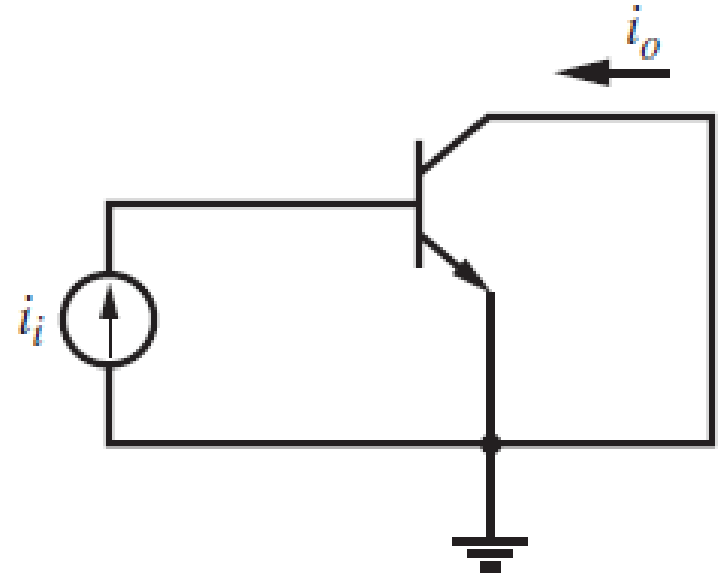


# Modelo considerando efectos parasitos

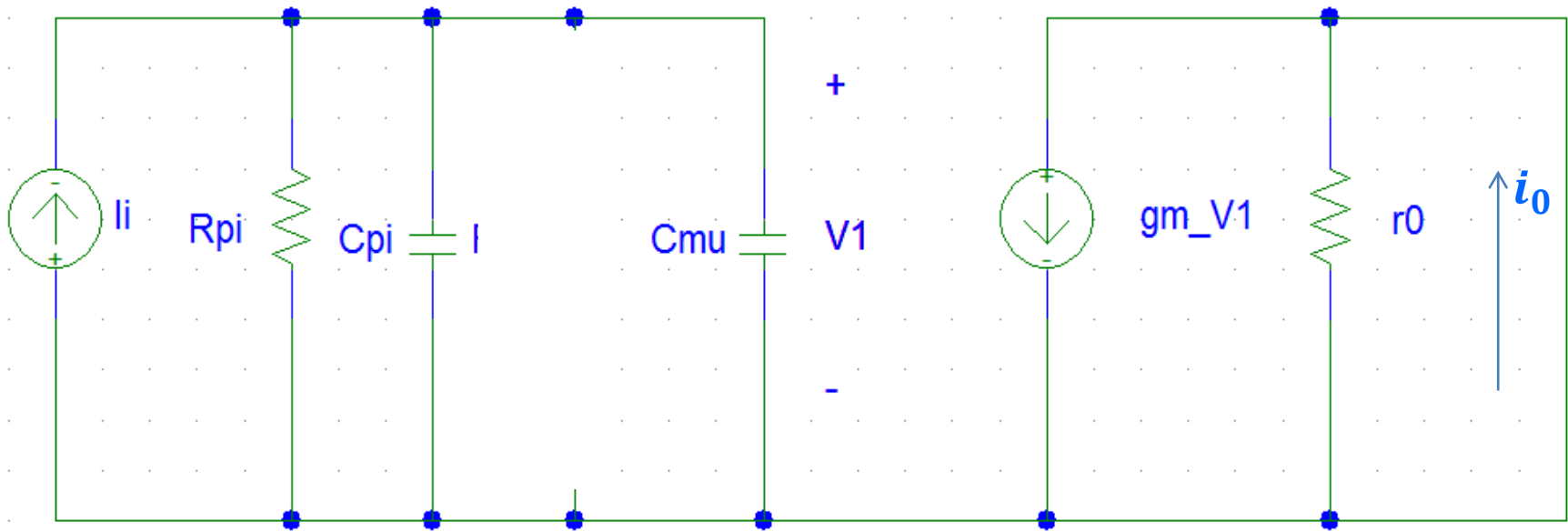


# Respuesta en Frecuencia del Transistor

Diagrama de alterna para la medición de  $f_T$  Frecuencia de Transición



Circuito Equivalente de pequeña señal



$R_{pi} \ll R_{mu} \Rightarrow$  Puedo despreciar  $R_{mu}$

$$i_o = g_m \times V_1$$

$$V_1 = i_i \times \frac{r_\pi}{1 + j\omega r_\pi (C_\pi + C_\mu)}$$

$$i_o = i_i \times \frac{g_m \times r_\pi}{1 + j\omega r_\pi (C_\pi + C_\mu)}$$

$$\beta(\omega) = \frac{i_o(\omega)}{i_i(\omega)}$$

$$\beta(\omega) = \frac{g_m \times r_\pi}{1 + j\omega r_\pi (C_\pi + C_\mu)}$$



$$\beta(\omega) = \frac{g_m \times r_\pi}{1 + j\omega r_\pi (C_\pi + C_\mu)}$$

Para altas frecuencias   $\omega r_\pi (C_\pi + C_\mu) \gg 1$

$$\beta(\omega) = \frac{g_m}{\omega (C_\pi + C_\mu)}$$

Definimos la frecuencia de ganancia unidad  $\omega_T$

A la frecuencia  $\omega$  que  $\beta = 1$

$$\omega_T = \frac{g_m}{(C_\pi + C_\mu)}$$

$$f_T = \frac{1}{2\pi} \frac{g_m}{(C_\pi + C_\mu)}$$

$$\omega_T = \frac{g_m}{(C_\pi + C_\mu)}$$

$$\omega_T = \frac{g_m}{(C_b + C_{jBE} + C_\mu)}$$

$$T_T = \frac{1}{\omega_T}$$

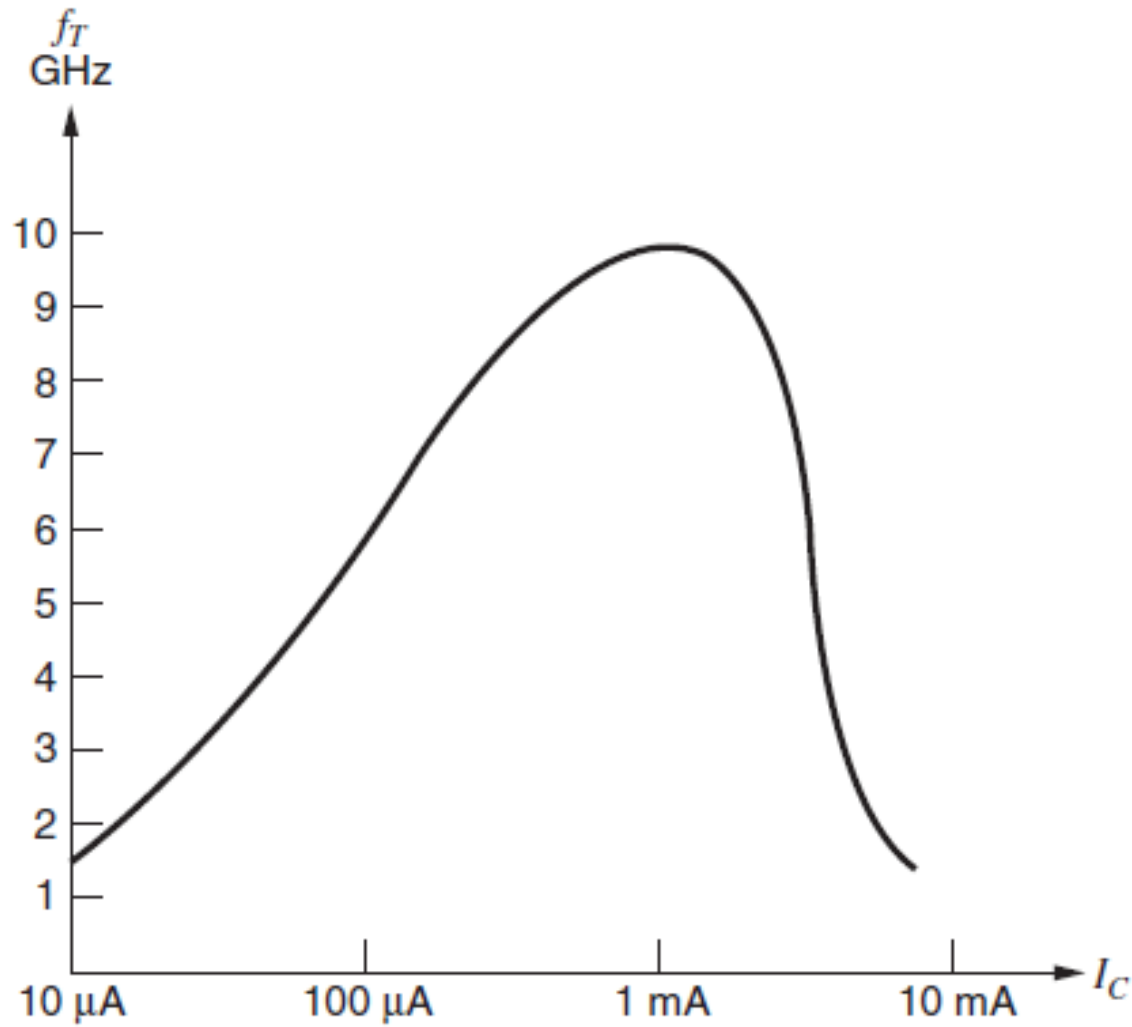
$$T_T = \frac{C_b}{g_m} + \frac{C_{jBE}}{g_m} + \frac{C_\mu}{g_m}$$

$$C_b = g_m \times T_F$$

$$T_T = T_F + \frac{C_{jBE}}{g_m} + \frac{C_\mu}{g_m}$$

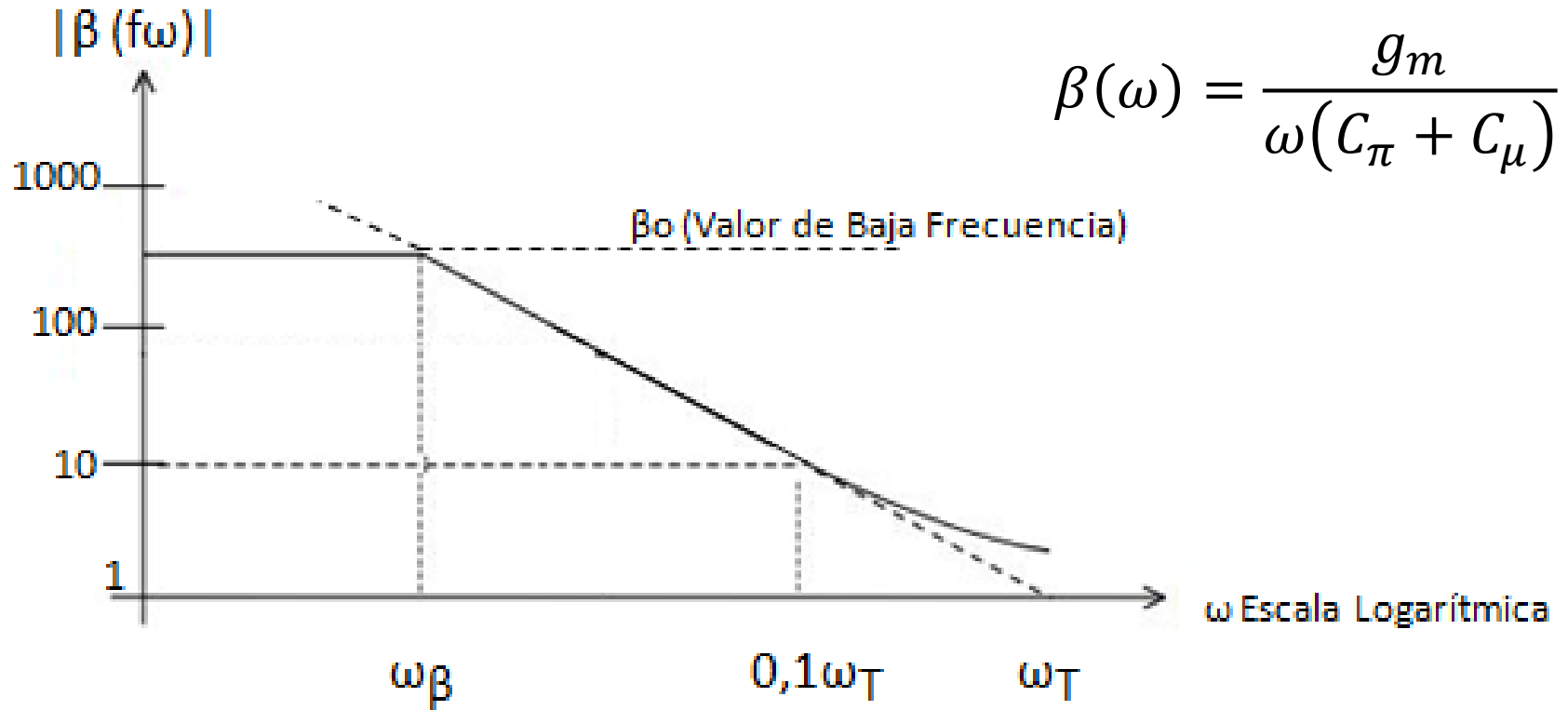
$$T_F = \frac{W_N^2}{2D_n}$$

$$T_T = \frac{W_N^2}{2D_n} + \frac{C_{jBE}}{g_m} + \frac{C_\mu}{g_m}$$



Curva Típica  $f_T$  en función de  $I_C$  para un transistor npn de circuito integrado con un área de  $6 \mu\text{m}^2$  en un proceso de alta velocidad.

# Frecuencia de Ganancia Unidad



$$\beta(\omega_\beta) = \frac{g_m}{\omega_\beta(C_\pi + C_\mu)} = \beta_0$$

$$\frac{g_m}{\beta_0(C_\pi + C_\mu)} = \omega_\beta$$

$$\frac{\omega_T}{\beta_0} = \omega_\beta$$

$$\omega_T = \omega_x \times |\beta(j\omega_x)|$$